

Univerza
v Ljubljani

Fakulteta
za gradbeništvo
in geodezijo



Katedra za metalne konstrukcije

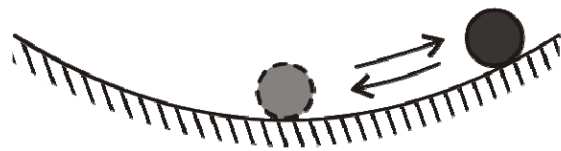
JEKLENE KONSTRUKCIJE I

7.0 UVOD V STABILNOST JEKLENIH KONSTRUKCIJ

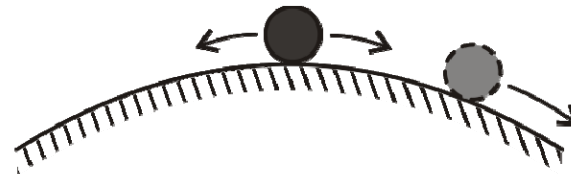
prof. dr. Darko Beg
Sodelavec: Blaž Čermelj

7.1 Osnovni pojmi

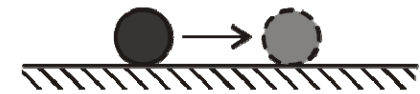
RAVNOTEŽJE – vrsta ravnotežja, izmikanje iz ravnotežne lege



STABILNO



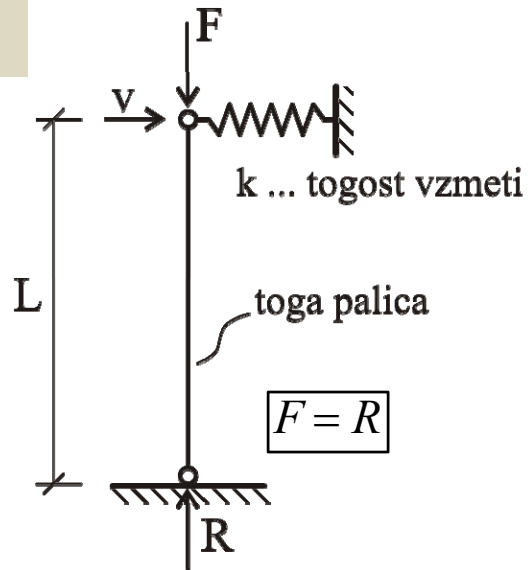
LABILNO



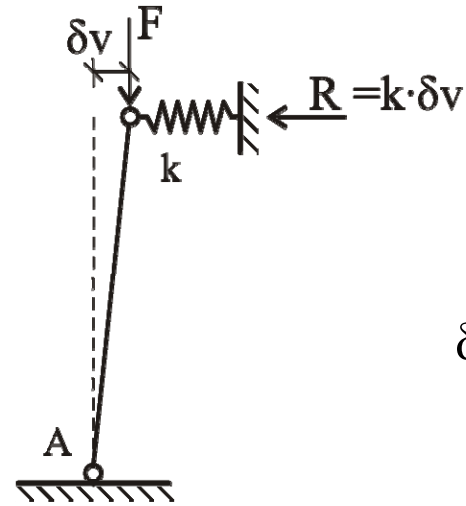
INDIFERENTNO

Za ugotavljanje ravnotežja **konstrukcijo izmaknemo iz ravnotežne lege**, ravnotežne enačbe zapišemo v **deformirani legi konstrukcije**.

PRIMER



ZAČETNA LEGA



DEFORMIRANA LEGA

δv ... virtualni pomik

poljuben

možen

$$\sum M^A :$$

$$F \delta v - k \delta v L = 0$$

$$(F - k L) \delta v = 0$$

Zanima nas **netrivialna rešitev**:

$$\delta v \neq 0 \rightarrow F - k L = 0$$

$$F_{cr} = k L$$

Ravnotežje:

$$F < F_{cr}$$

stabilno

$$F \geq F_{cr}$$

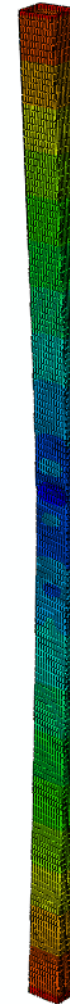
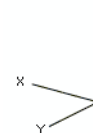
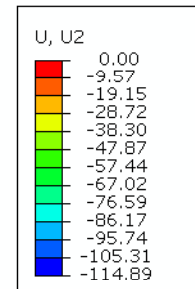
nestabilno

Primer uklona tlačnega stebra

Preizkušane v laboratoriju



Računalniška simulacija uklona



CF-L.curved,b/h/t = 19(
ODB: CF-L_S373_Imp_f

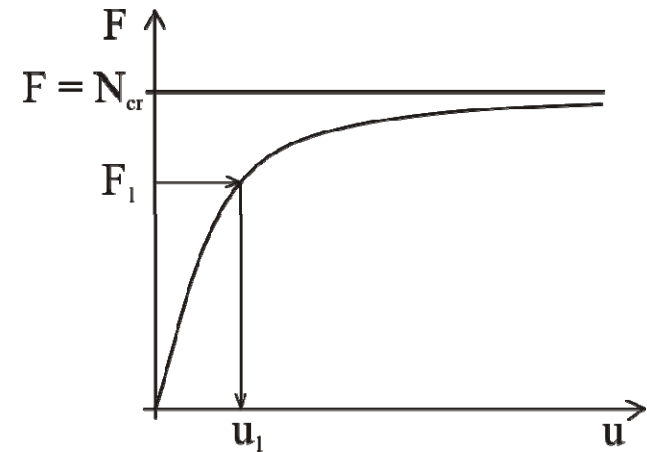
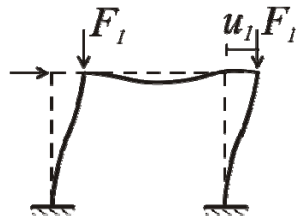
Step: Displacement, Vn
Increment: 100; Arc L
Primary Var: U, U2
Deformed Var: U Defc

Analiza konstrukcij

$[K] = [K(N)]$... togost sistema

□ NAPETOSTNI PROBLEM:

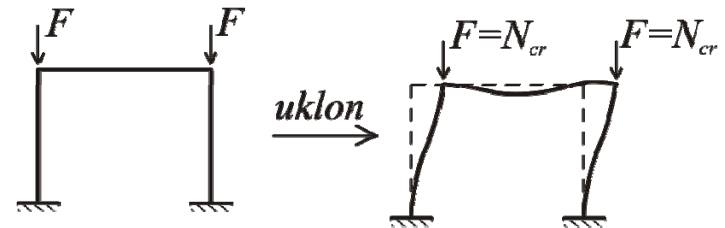
nehomogen sistem enačb: $[K] \{u\} = \{F\}$



□ RAČUN N_{cr} (idealni sistemi):

homogen sistem: $[K(N)] \{u\} = \{0\} \implies$

netrivialna rešitev: $\det [K(N)] = 0 \rightarrow N_{cr}$



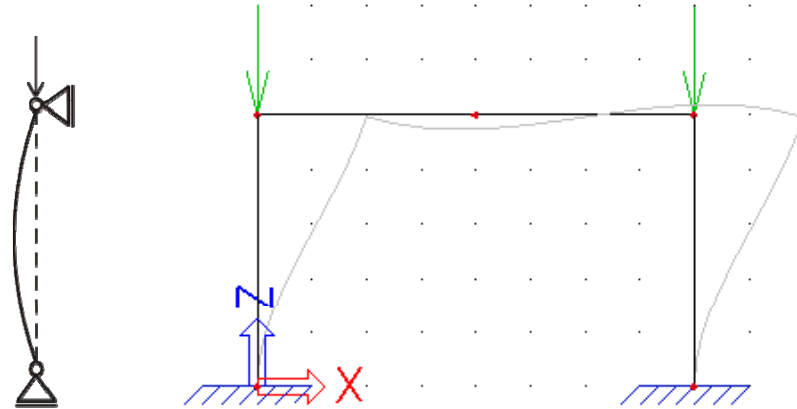
$\{u\}$ pri $N = N_{cr}$

- lastna vrednost
- lastni vektor – uklonska oblika

Značilni primeri nestabilnosti

Nestabilnost v konstrukcijah povzroča **tlačna napetost**.

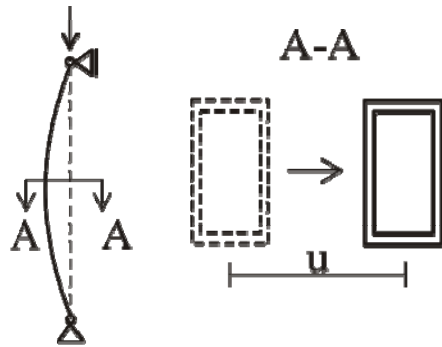
a) UKLON TLAČENIH PALIC



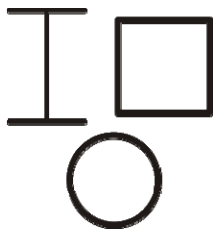
Mejna nosilnost je povezana z **uklonom oz. izgubo stabilnosti palic**.

Trije načini uklona tlačnih palic

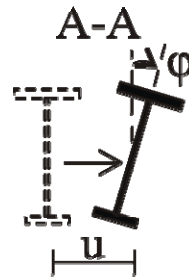
UPOGIBNI UKLON



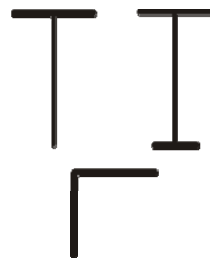
Cevni in škatlasti prerezi, navadni odprti profili.



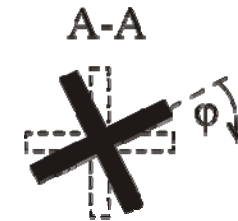
UPOGIBNO – TORZIJSKI UKLON



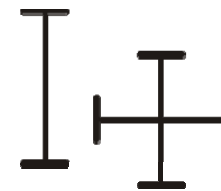
Nesimetrični odprti prerezi z majhno torzijsko togostjo.



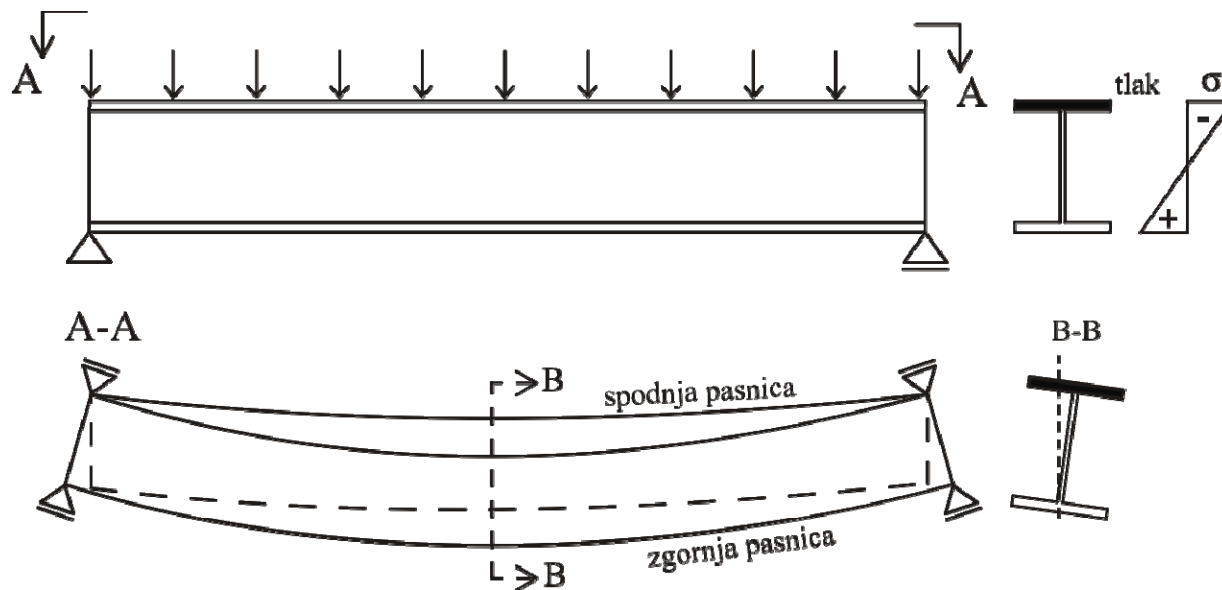
TORZIJSKI UKLON



Dvojnosiometrični odprti prerezi z majhno torzijsko togostjo.

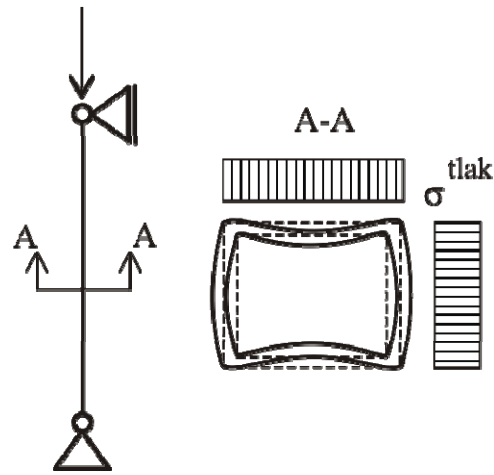


b) BOČNA ZVRNITEV UPOGIBNIH NOSILCEV



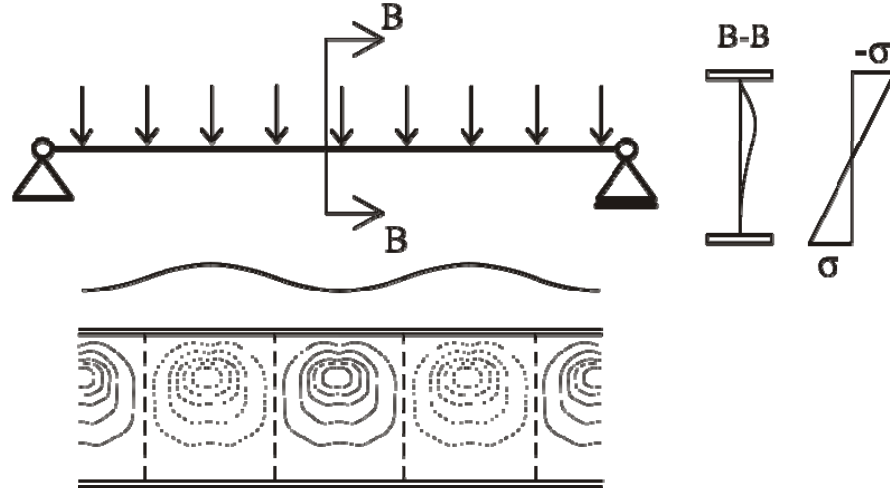
Uklon tlačne pasnice izven ravnine nosilca zaradi upogibnih momentov okoli močne osi \rightarrow tlačna sila v zgornji pasnici.

c) LOKALNO IZBOČENJE PLOČEVIN



ČISTI TLAK

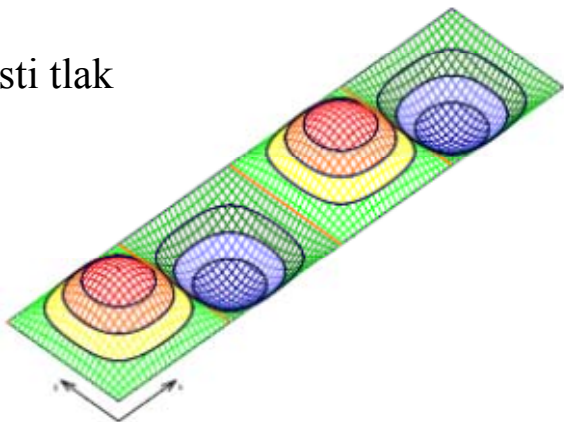
Vitka stojina: izbočenje v tlačni coni



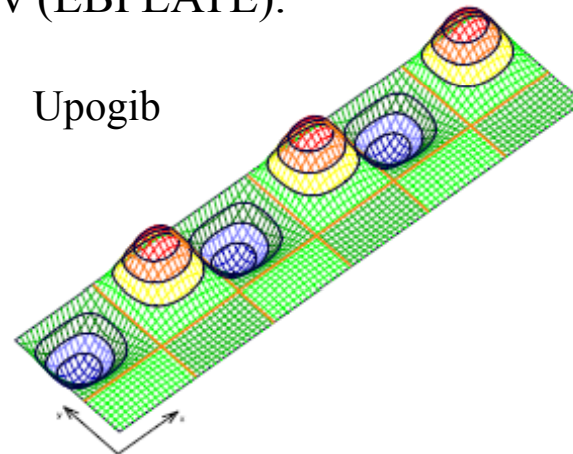
UPOGIB

- Primer simulacije izbočenja pločevine brez ojačitev obremenjene s konstantnim potekom tlačnih napetosti vzdolž krajših robov (EBPLATE).

Čisti tlak



Upogib

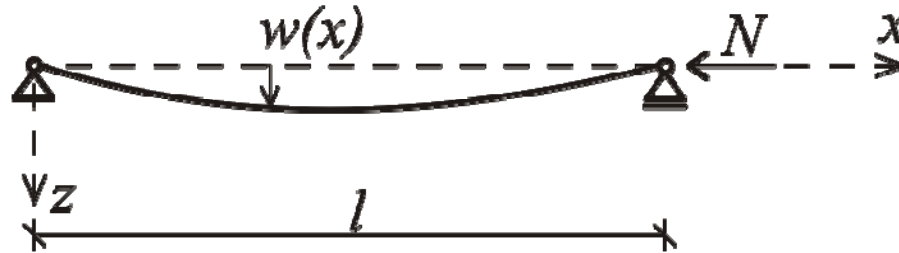


- Skupno pri vseh treh pojavih nestabilnosti:
 - vitek element;
 - tlačna napetost (N – uklon, M – bočna zvrnitev, σ - lokalno izbočenje).

- Možne so kombinacije zgoraj naštetih nestabilnosti.

7.2 Upogibni uklon tlačnih palic

Deformirana lega:



$$A, I, E, l$$

Ravnotežje momentov: $M(x) = N \cdot w(x)$

Konstitucijska zveza: $\frac{1}{R} \approx w'' = -\frac{M}{EI}$

$$M = -w'' EI$$

$$EI w'' + N w = 0$$

$$w'' + \omega^2 w = 0$$

$$\omega^2 = \frac{N}{EI}$$

Nastavek za pomike, ki reši zgornjo homogeno dif. enačbo:

$$w = A \sin(\omega x) + B \cos(\omega x)$$

Robni pogoji:

$$x = 0 \quad w = 0: \quad A \sin(\omega \cdot 0) + B \cos(\omega \cdot 0) = 0 \rightarrow B = 0$$

$$x = l \quad w = 0: \quad A \sin(\omega \cdot l) = 0$$

netrivialna rešitev:

$$A \neq 0 \rightarrow \sin(\omega l) = 0 \rightarrow N_{cr}$$

$$\omega l = \{0, \pm\pi, \pm 2\pi, \dots\} \text{ oz. } \omega l = n\pi, \quad n \in \mathbb{Z}$$

$$\omega l = n\pi \quad n \in \{1, 2, 3, \dots\}$$

$$\omega^2 = \frac{n^2 \pi^2}{l^2} = \frac{N_{cr}}{EI}$$



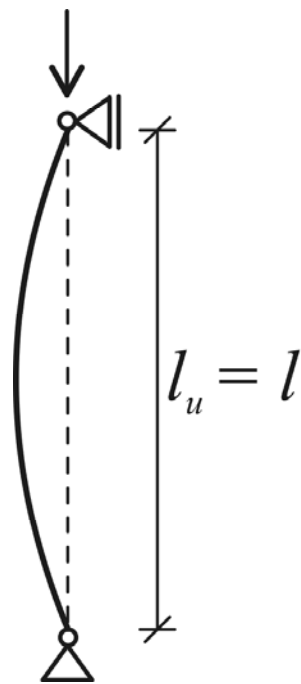
$$N_{cr} = n^2 \frac{\pi^2 EI}{l^2}$$

**Euler-jeva
kritična sila**

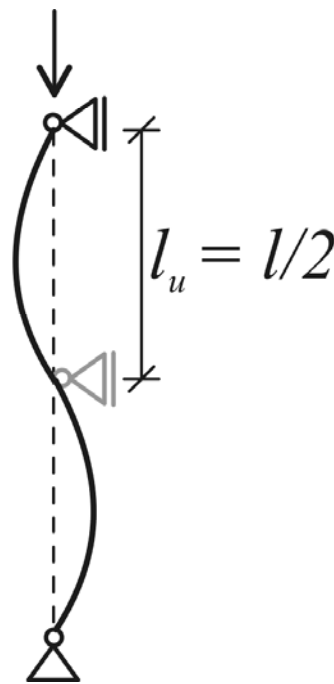
Uklonska dolžina l_u – razdalja med prevojnimi točkami (uklonske oblike)

$$l_u = \frac{l}{n}$$

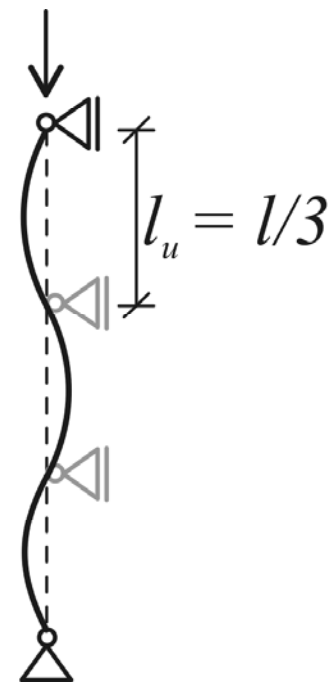
$$N_{cr} = \frac{\pi^2 EI}{l_u^2}$$



$n = 1$



$n = 2$

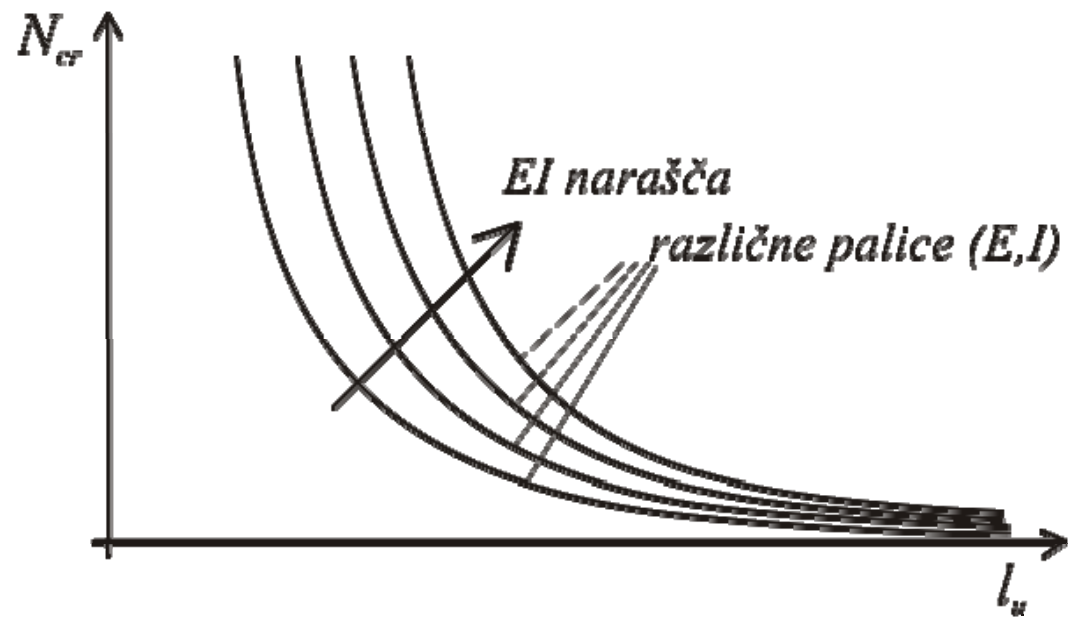


$n = 3$

$$N_{cr} = n^2 \frac{\pi^2 EI}{l^2}$$

$$N_{cr,MIN} \Rightarrow n = 1, \quad l_u = l$$

$$N_{cr,MIN} = \frac{\pi^2 EI}{l_u^2}$$



$$\frac{N_{cr}}{A} = \sigma_{cr} = \frac{\pi^2 EI}{Al_u^2} = \frac{\pi^2 E}{\lambda^2} \Rightarrow \boxed{\sigma_{cr} = \frac{\pi^2 E}{\lambda^2}}$$

$$\frac{I}{A} = i^2 \quad \lambda = \frac{l_u}{i} \quad \text{vitkost}$$

$$\frac{\sigma_{cr}}{f_y} = \frac{\pi^2 E}{\lambda^2 f_y}$$

$$\frac{N_{cr}}{A f_y} = \frac{\sigma_{cr}}{f_y} = \frac{\lambda_1^2}{\lambda^2} = \frac{1}{\bar{\lambda}^2} \Rightarrow \text{Povsem brezdimenzionalni zapis:}$$

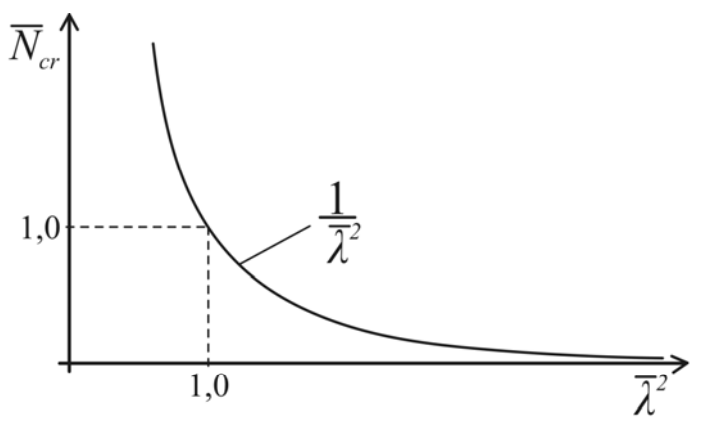
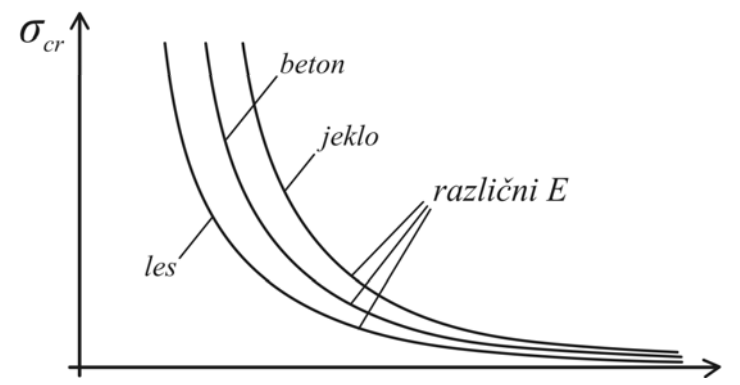
$$\lambda_1 = \pi \sqrt{\frac{E}{f_y}}$$

$$\bar{\lambda} = \frac{\lambda}{\lambda_1}$$

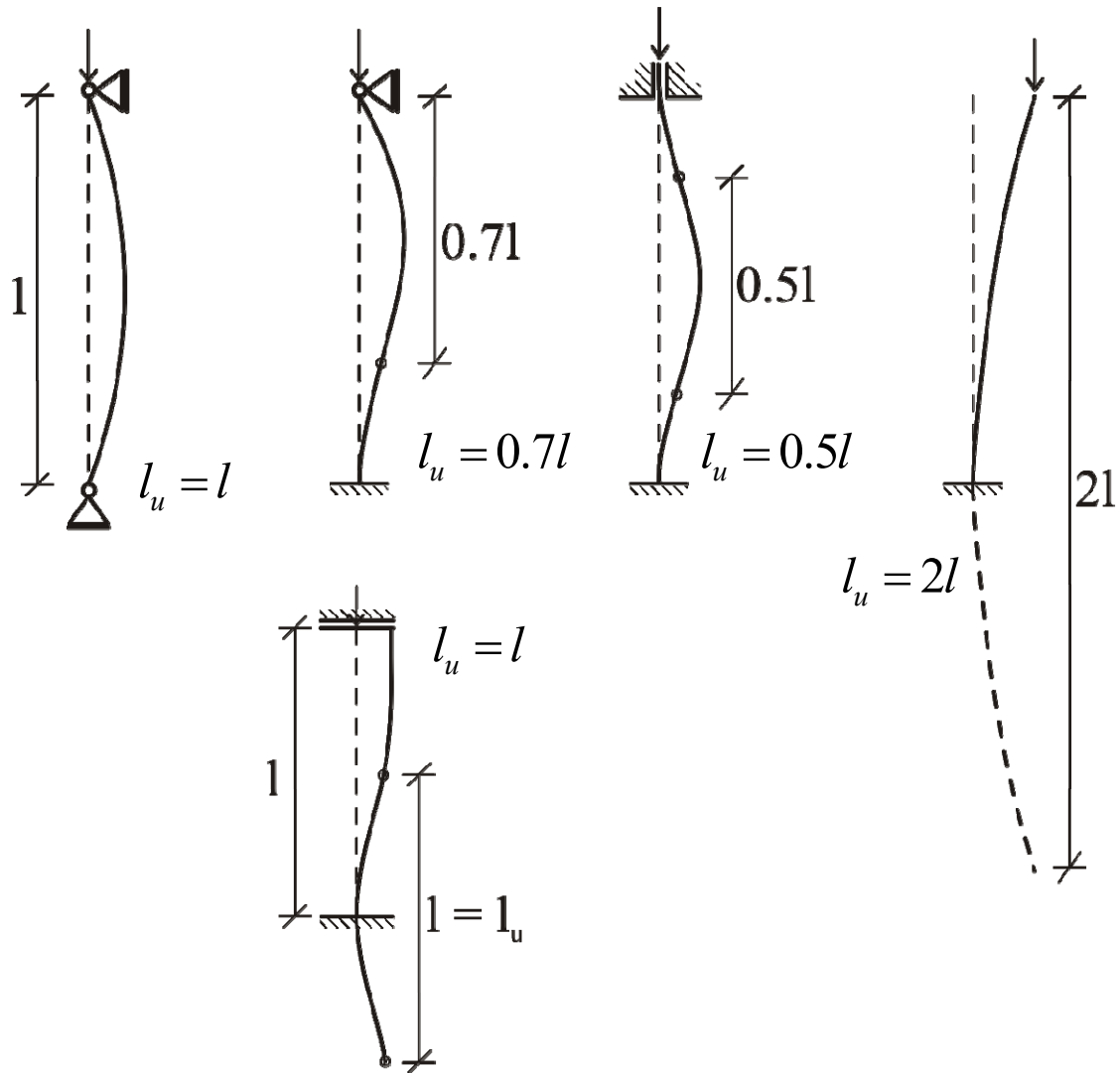
$$N_{pl} = A f_y$$

$$\bar{N}_{cr} = \frac{N_{cr}}{N_{pl}} = \frac{1}{\bar{\lambda}^2}$$

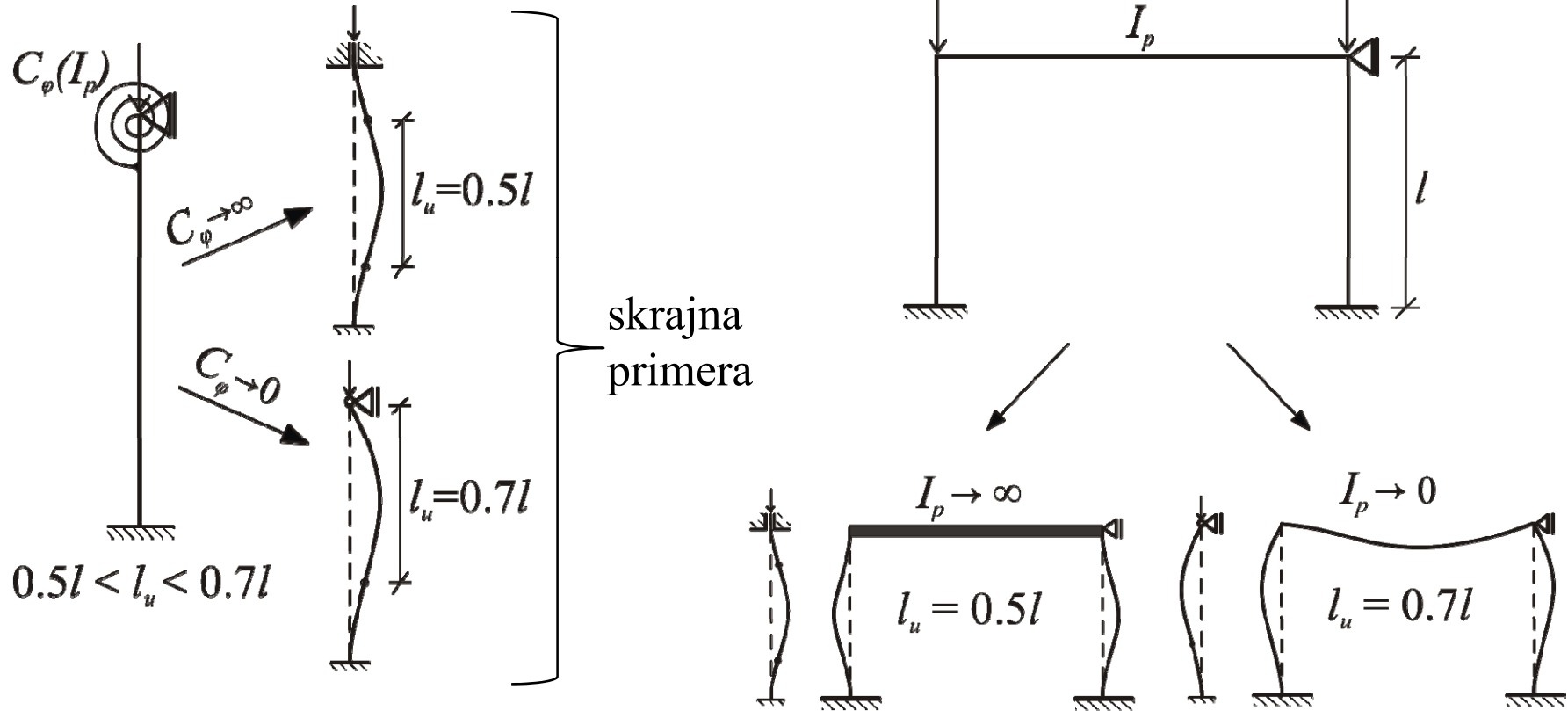
$$\bar{\lambda} = \sqrt{\frac{N_{pl}}{N_{cr}}}$$



Uklonske dolžine



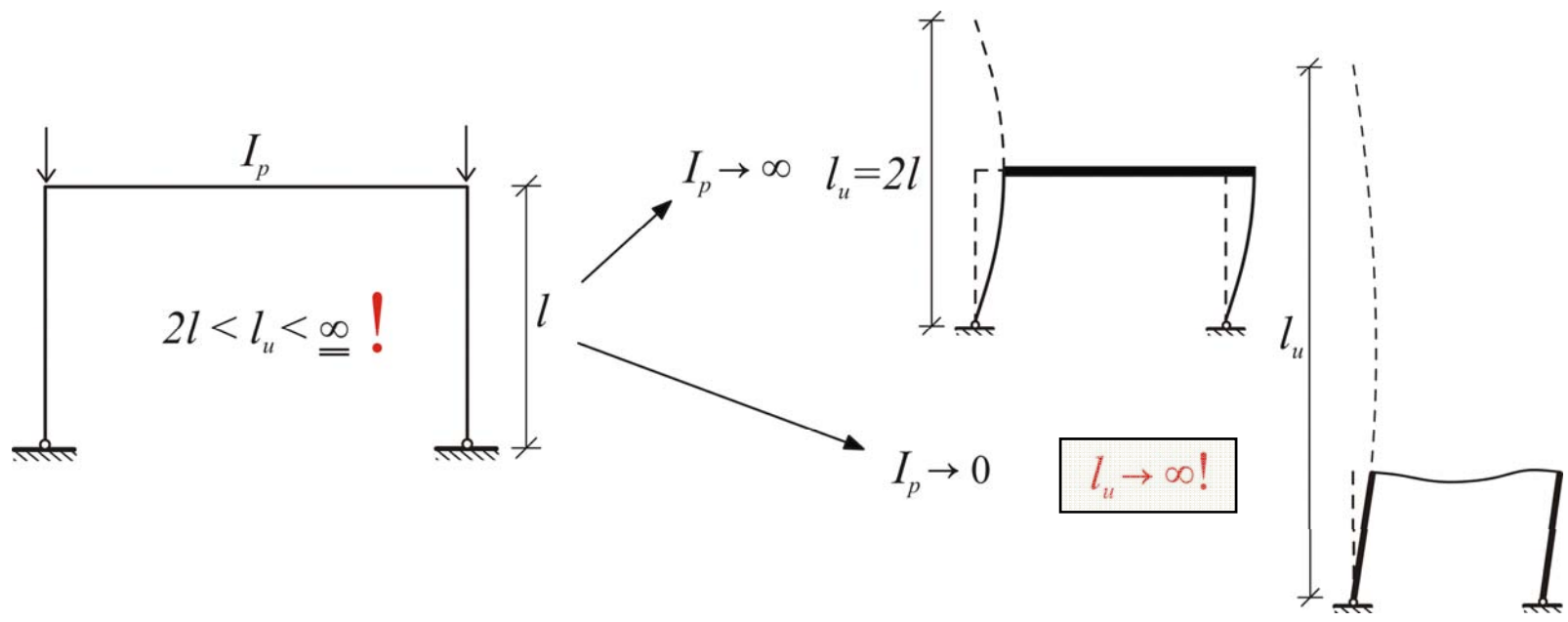
Uklonske dolžine



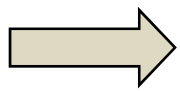
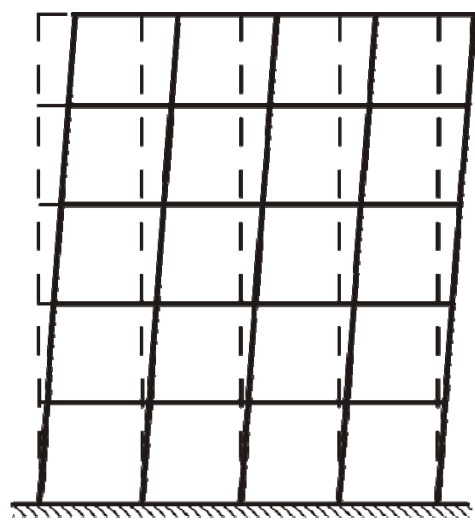
$$\frac{2\pi^2 EI}{l^2} \leq N_{cr} \leq \frac{4\pi^2 EI}{l^2}$$

$$N_{cr} = \frac{4\pi^2 EI}{l^2}$$

$$N_{cr} = \frac{2\pi^2 EI}{l^2}$$



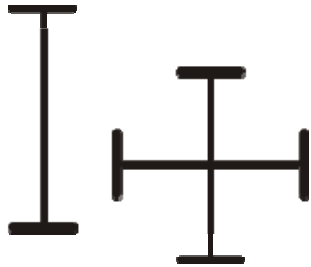
Dimenzioniranje pomičnih okvirjev:



Priporočeno:
 teorija drugega reda
 +
 nepopolnosti

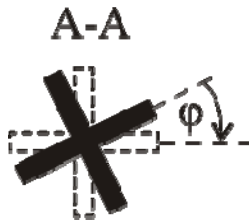
Torzijski uklon

Dvojnosiometrični odprti prerezi z majhno torzijsko togostjo:



$$N_{cr} = \frac{A}{I_p} \left(\frac{\pi^2 EI_w}{l^2} + GI_t \right)$$

Enakomerna (Saint-Venantova) torzija:



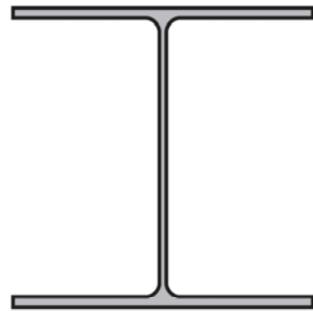
$$N_{cr} = \frac{A}{I_p} GI_t$$



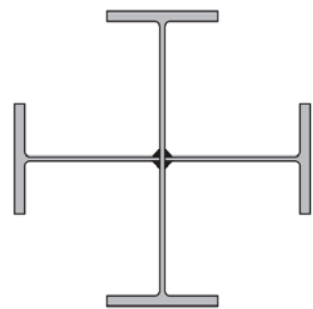
l



IPE 500			
l [m]	$N_{cr,y}$ [kN]	$N_{cr,z}$ [kN]	$N_{cr,T}$ [kN]
10	9990	444	2259
18	3083	137	1846
28	1274	57	1738



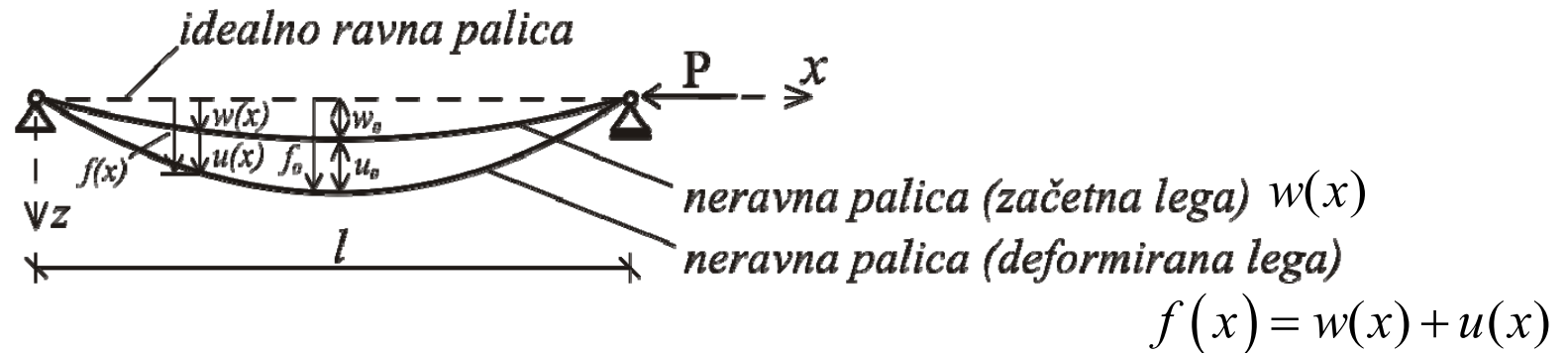
HEB 300			
l [m]	$N_{cr,y}$ [kN]	$N_{cr,z}$ [kN]	$N_{cr,T}$ [kN]
10	5217	1774	8146
18	1610	548	7078
28	665	226	6798



2 HEA 800			
l [m]	$N_{cr,y}$ [kN]	$N_{cr,z}$ [kN]	$N_{cr,T}$ [kN]
10	65503	65503	15588
18	20217	20217	10845
28	8355	8355	9602

Upoštevanje začetne geometrijske nepopolnosti

NERAVNA PALICA



V začetni legi neravne palice - brez napetosti

$$f(x) = w(x) + u(x) \quad \text{odmik od osi } x$$

$$x = l/2: \quad f_0 = w_0 + u_0$$

Znano:

$w(x)$: začetna neravna geometrija palice

$$w(x) = w_0 \sin \frac{\pi x}{l}$$

P : tlačna osna sila

Iščemo:

$u(x)$ oziroma $f(x)$
pri znani $w(x)$ in P

Ravnotežna enačba za neravno palico

$$EI u_{,xx} + P \cdot (u + w) = 0$$

momentni pogoj

Notranji moment (w ne sodeluje pri ukrivljenosti, ker v začetni legi palica ni obremenjena).

Zunanja obtežba

$$u_{,xx} + \omega^2 (u + w) = 0 \quad ; \quad \omega^2 = \frac{P}{EI}$$

$$u_{,xx} + \omega^2 u = -\omega^2 w_0 \sin \frac{\pi x}{l}$$

Za $u(x)$ predpostavimo rešitev (za nehomogeno dif. enačbo, ki avtomatično izpolni tudi robne pogoje):

$$u(x) = A \sin \frac{\pi x}{l}$$

$$u_{,xx} = -\frac{\pi^2}{l^2} A \sin \frac{\pi x}{l}$$

$$-\frac{\pi^2}{l^2} A \sin \frac{\pi x}{l} + \omega^2 A \sin \frac{\pi x}{l} = -\omega^2 w_0 \sin \frac{\pi x}{l}$$

$$\sin \frac{\pi x}{l} \left(A \left(\omega^2 - \frac{\pi^2}{l^2} \right) + \omega^2 w_0 \right) = 0$$

$$A = -\frac{\omega^2 w_0}{\omega^2 - \frac{\pi^2}{l^2}} = -\frac{w_0}{1 - \frac{\pi^2}{l^2 \omega^2}} = \frac{w_0}{\frac{\pi^2}{l^2 \omega^2} - 1} = \frac{w_0}{\frac{P_{cr}}{P} - 1}$$

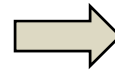
$$A = \frac{w_0}{\frac{P_{cr}}{P} - 1}, P_{cr} = \frac{\pi^2 EI}{l^2}$$

$$u(l/2) = u_0 = A \sin \frac{\pi l}{l} \frac{1}{2} = A \sin \frac{\pi}{2} = A \cdot 1 = A \Rightarrow u_0 = A$$

$$f_0 = u_0 + w_0 = w_0 \left(\frac{1}{\frac{P_{cr}}{P} - 1} + 1 \right) = \frac{w_0}{1 - \frac{P}{P_{cr}}}$$

$$k_\delta = \frac{1}{1 - \frac{P}{P_{cr}}}$$

Amplifakcijski
koeficient TDR



$$f_0 = w_0 \cdot k_\delta$$

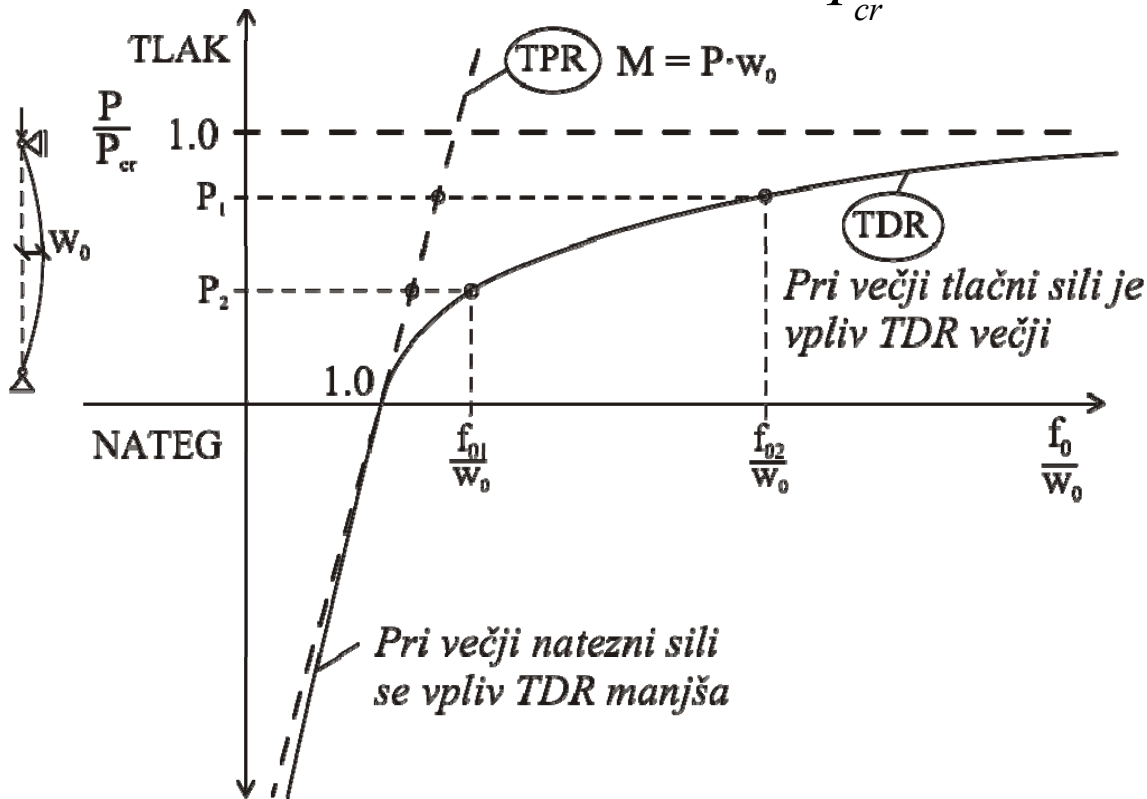
$$w^{II} \approx w^I k_\delta$$

$$M^{II} \approx M^I k_\delta$$

Približni račun
količin po TDR

$$k_\delta = \frac{f_0}{w_0} = \frac{1}{1 - \frac{P}{P_{cr}}}$$

$$\frac{P}{P_{cr}} = 1 - \frac{1}{\frac{f_0}{w_0}}$$

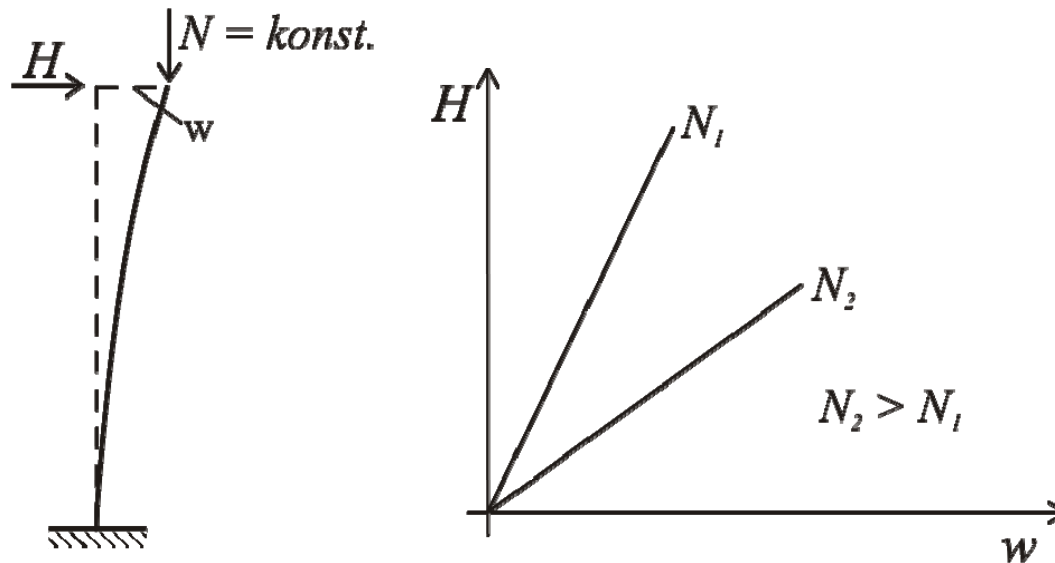


$$\frac{f_{02}}{f_{01}} > \frac{P_2}{P_1}$$

Pomiki naraščajo
hitreje kot sile.

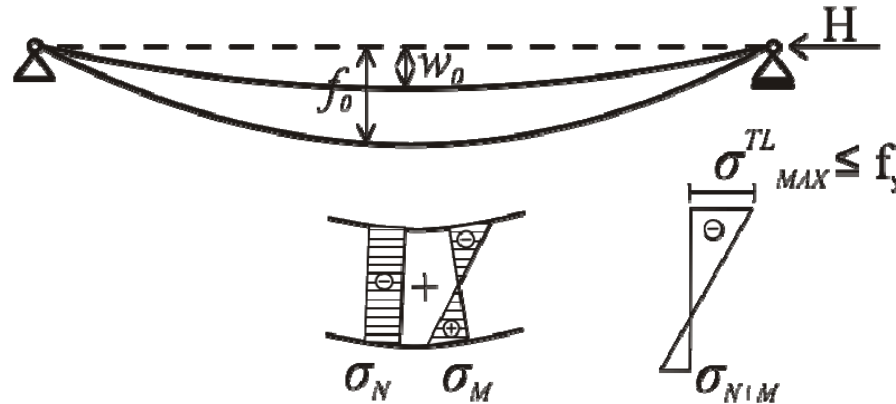
Konstantna osna sila

Vrednost k_δ **konstantna**: $k_\delta = \frac{1}{1 - \frac{N}{N_{cr}}}$



Vpliv TDR se kaže samo v zmanjšani togosti.

Vpliv nepopolnosti na nosilnost



$$f_0 = w_0 k_\delta$$

$$M^H = N \cdot f_0 = N w_0 k_\delta$$

$$\sigma_{MAX}^{TL} = \frac{N}{A} + \frac{M^H}{W_{el}} \leq f_y \quad /: f_y$$

$$\frac{N}{N_{pl}} + \frac{N w_0 k_\delta}{M_{el}} \leq 1.0$$

$$N_{pl} = A f_y$$

$$M_e = W_{el} f_y$$

$$\frac{N}{N_{pl}} + \frac{N w_0 k_\delta A}{W_{el} f_y A} \leq 1.0 \quad \leftarrow \quad \eta = \frac{w_0 A}{W_{el}}$$

$$\frac{N}{N_{pl}} + \frac{N \eta}{N_{pl} \left(1 - \frac{N}{N_{cr}}\right)} \leq 1.0 \quad \leftarrow \quad \bar{N} = \frac{N}{N_{pl}}$$

$$\bar{N} + \bar{N} \eta \frac{1}{(1 - \bar{N} \bar{\lambda}^2)} \leq 1.0 \quad \leftarrow \quad \bar{\lambda}^2 = \frac{N_{pl}}{N_{cr}}$$

$$\eta \frac{1}{(1 - \bar{N} \bar{\lambda}^2)} \leq \left(\frac{1}{\bar{N}} - 1 \right)$$

$$\eta \leq \left(\frac{1}{\bar{N}} - 1 \right) (1 - \bar{N} \bar{\lambda}^2)$$

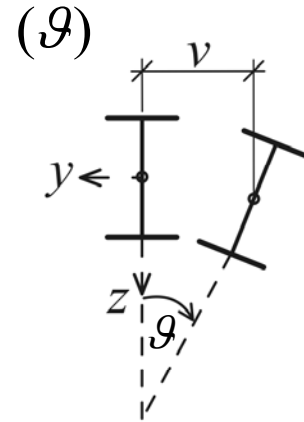
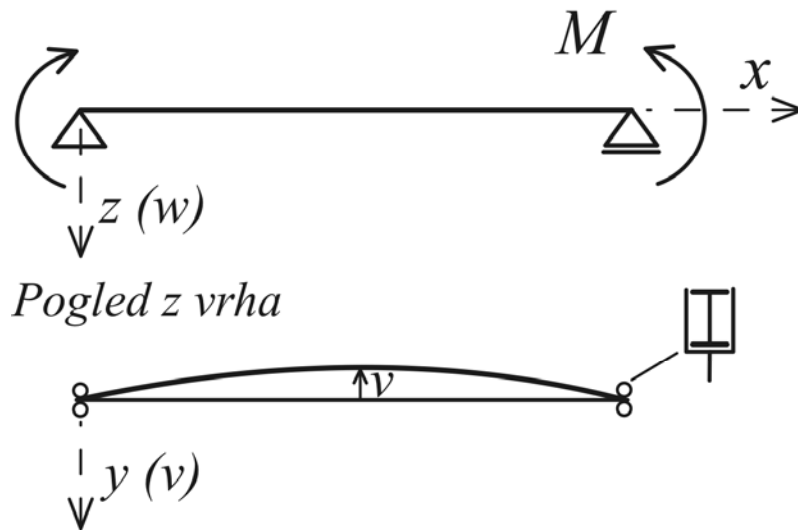
pri “=” začetek plastifikacije

pri “<” začetna nepopolnost η **ne povzroči začetka plastifikacije**

$$w_0 = f(N) \text{ ali } N = f(w_0)$$

7.3 Bočna zvrnitev

Elastičen in idealno raven nosilec.



G ... torzijski zasuk

v ... premik težišča v y smeri

Robni pogoji (VILIČASTA PODPORA):

$$\begin{aligned} G(0) &= 0 & G(L) &= 0 \\ G_{,xx}(0) &= 0 & G_{,xx}(L) &= 0 \end{aligned}$$

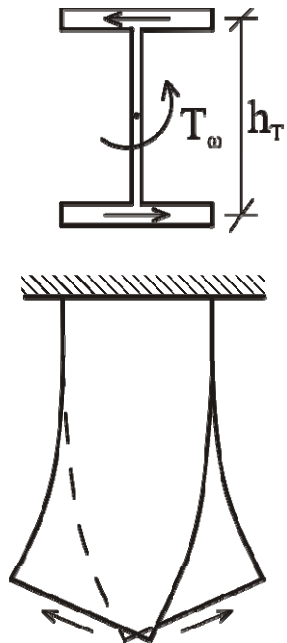
$$\begin{aligned} v(0) &= 0 & v(L) &= 0 \\ v_{,xx}(0) &= 0 & v_{,xx}(L) &= 0 \end{aligned}$$

Ravnotežna enačba za bočno zvrnitev nosilca s konstantnim potekom momentov

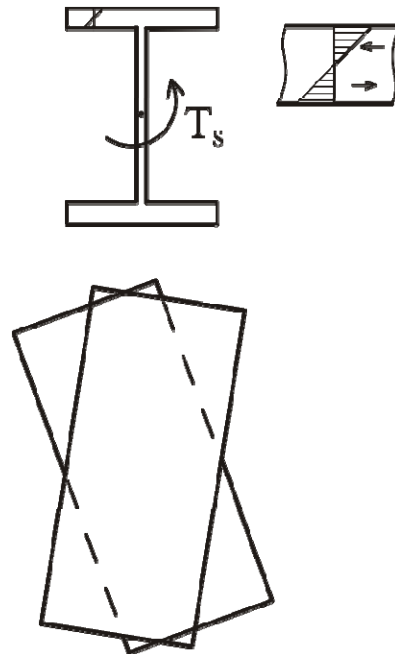
$$EI_{\omega} \vartheta_{,xxxx} - GI_t \vartheta_{,xx} - \frac{M^2}{EI_z} \vartheta = 0$$

obtežba

delež ovirane torzije

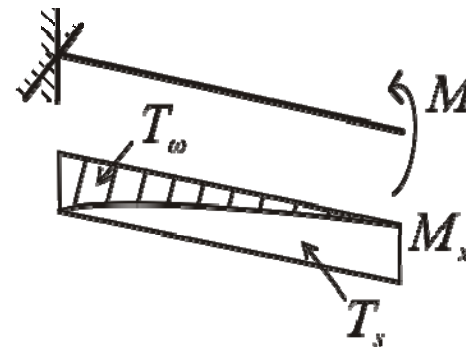


delež enakomerne torzije (čista, Saint-Venantova) - samo strigi.



Torzijski moment

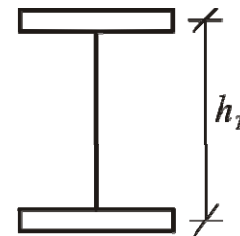
$$M_x = T_{\omega} + T_s$$



$$G = \frac{E}{2(1+\nu)} \quad \dots \text{strižni modul} \quad (G_{JEKLO} = 8100 \text{ kN} / \text{cm}^2, \nu = 0.3)$$

I_ω = vzbočitveni vztrajnostni moment (tabele c_M)
 “vztrajnostni moment ovirane torzije”

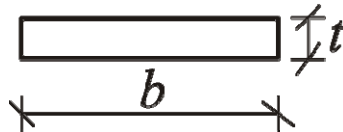
$$I_\omega = I_z \frac{h_T^2}{4} \quad \text{za dvojnosiometrične I - profile}$$



$$I_z = I_{MIN} \quad (\text{šibka os})$$

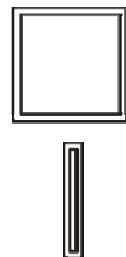
I_t = Saint–Venantov torzijski vztrajnostni moment

$$I_t = \sum_{i=1}^n (b_i t_i^3 / 3)$$



Približna formula za odprte prereze, ki ne upošteva globalnega sodelovanja elementov (10 – 30%).


Škatlasti prerezi



I_t zelo velik → ni nevarnosti bočne zvrnitve

POZOR!

Rešitev ravnotežne enačbe

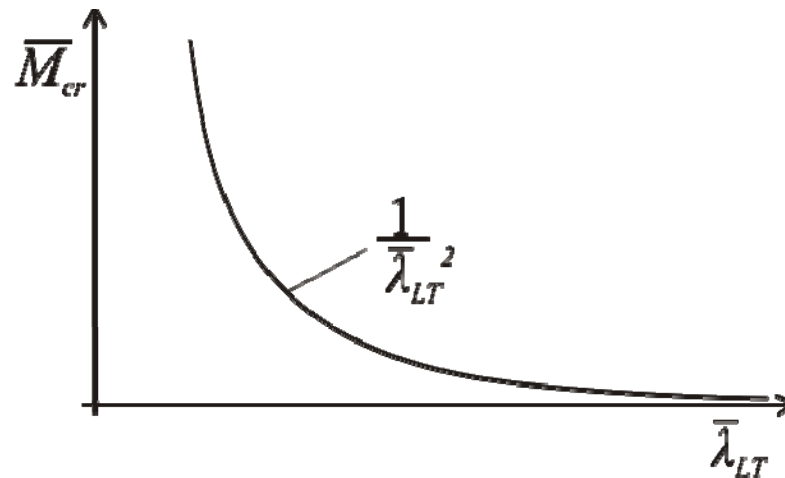
Elastični kritični moment bočne zvrnitve 

$$M_{cr} = \frac{\pi}{l} \sqrt{E I_z G I_t \left(1 + \frac{\pi^2 E I_w}{l^2 G I_t} \right)} \quad ; \quad \chi = \frac{\pi^2 E I_w}{l^2 G I_t}$$

Vitkost:

$$\bar{\lambda}_{LT} = \sqrt{\frac{M_{el} (M_{pl})}{M_{cr}}} = \sqrt{\frac{1}{\bar{M}_{cr}}} \quad \begin{array}{l} M_{el} = W_{el,y} f_y \rightarrow 3. \text{ R. K.} \\ M_{pl} = W_{pl,y} f_y \rightarrow 1., 2. \text{ R. K.} \end{array}$$

$$\bar{M}_{cr} = \frac{1}{\bar{\lambda}_{LT}^2}$$



Možna primera v praksi

$$\chi = \frac{\pi^2 E I_\omega}{l^2 G I_t}$$

□ prevladuje ovirana torzija

$$\chi \gg 1$$

Za I – profile velja:

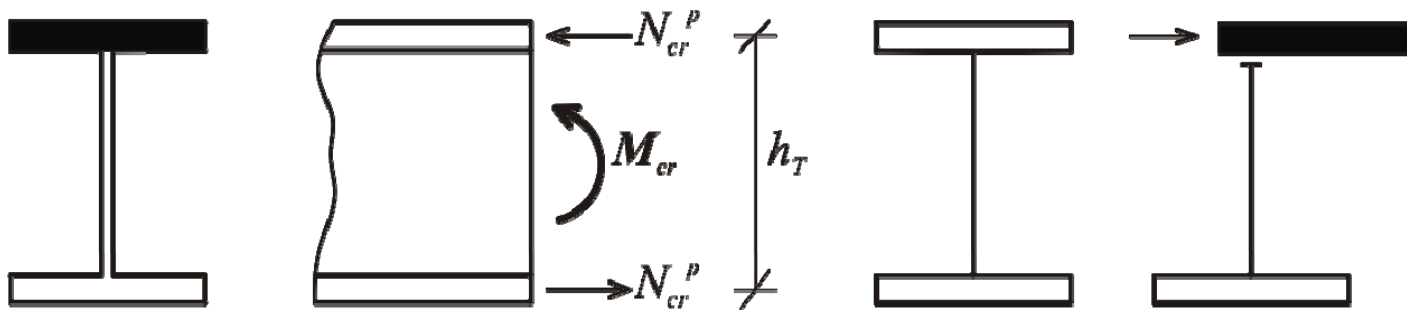
$$M_{cr} = \frac{\pi}{l} \sqrt{\frac{\pi^2 E^2 I_z I_\omega}{l^2}} = \frac{\pi^2}{l^2} E \sqrt{I_z I_\omega} = \frac{\pi^2}{l^2} \frac{E I_z h_T}{2} \approx \frac{\pi^2}{l^2} E I_p h_T = N_{cr}^p h_T$$

$I_z \approx 2I_p$... zanemarimo vztrajnostni moment stojine okoli šibke osi.

Metoda tlačene pasnice

- ❑ Zanemarjen delež enakomerne torzije;
- ❑ uporabna za hitro kontrolo;
- ❑ vsebovana v predpisih.

Obnašanje tlačene pasu pasnice, kot da le ta ne sodeluje z ostalim delom profila.



$$M_{cr} = h_T N_{cr}^p$$

□ prevladuje neovirana torzija

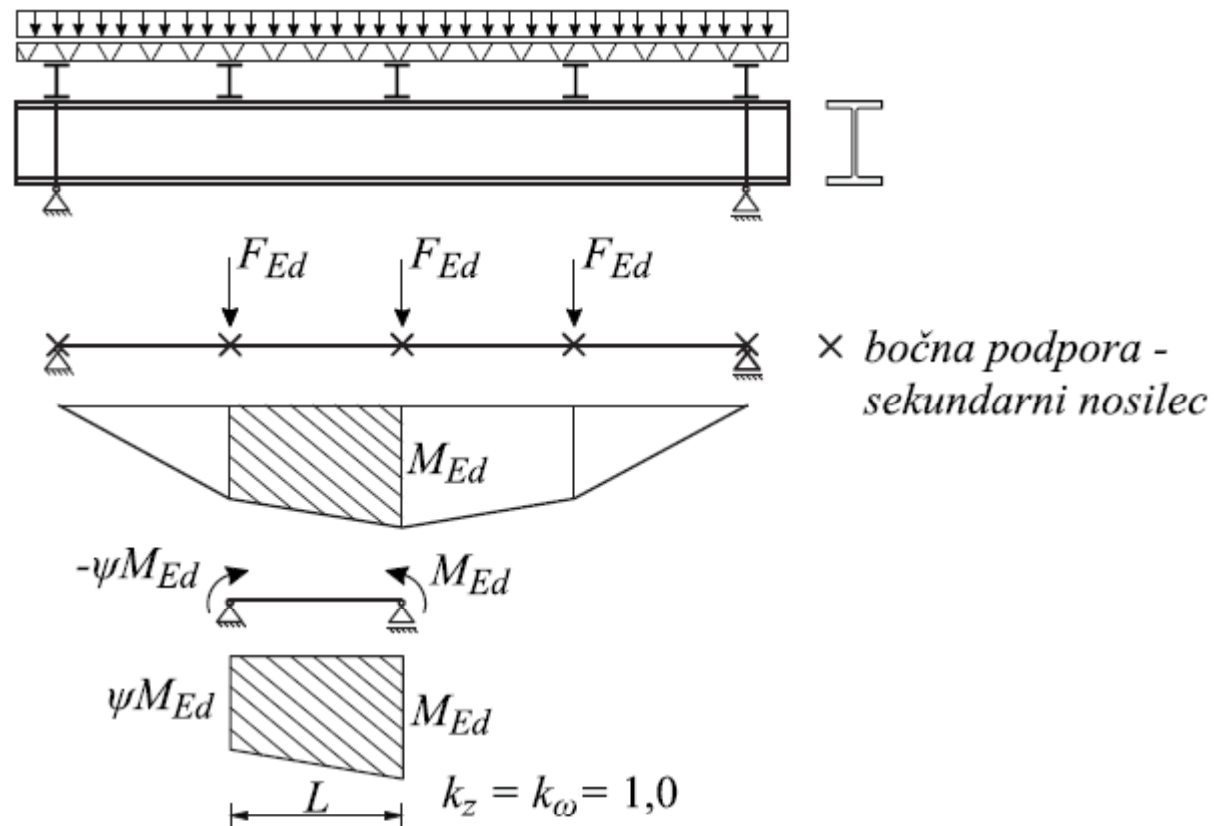
$$\chi \ll 1$$

$$M_{cr} = \frac{\pi}{l} \sqrt{EI_z GI_t} \quad \dots \text{upoštevamo samo enakomerno torzijo}$$

Primerno za:

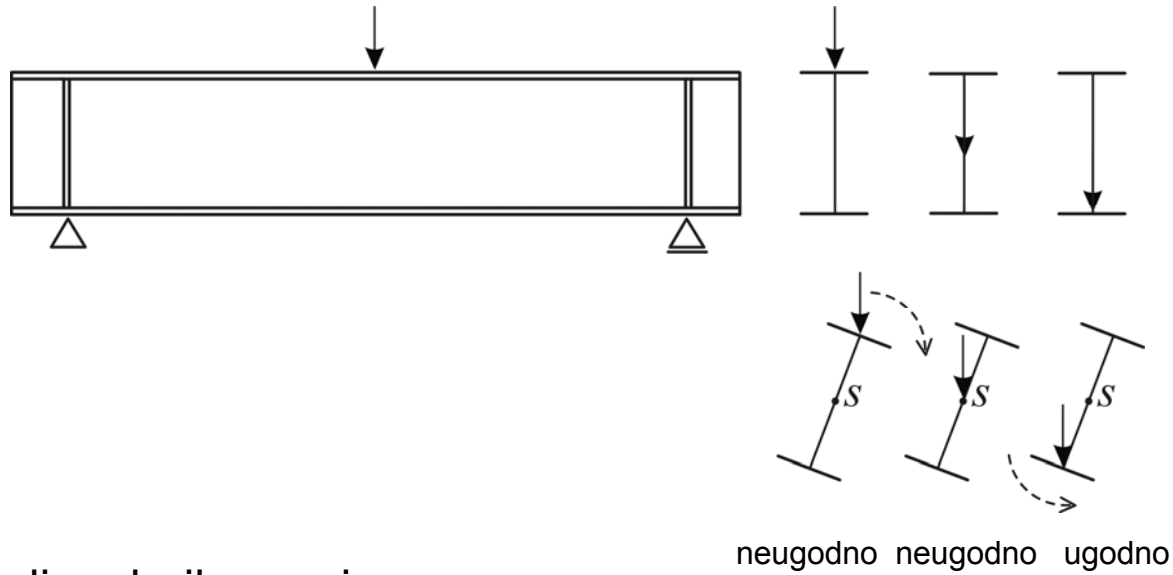
- polni profili;
- veliki razponi.

Kontrola bočne zvrnitve za nosilce z vmesnimi bočnimi podporami





- Vpliv oblike momentne linije;
- vpliv prijemališča obtežbe;








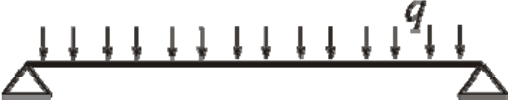

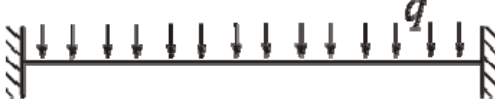

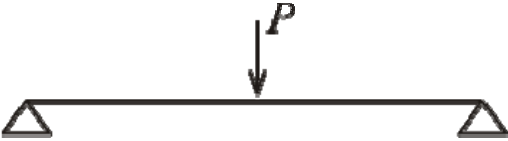

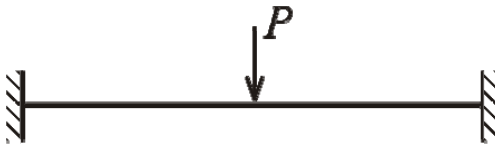

- vpliv robnih pogojev.

Nekonstanten potek upogibnega momenta

$$M_{cr} (M \neq konst.) = C_1 \cdot M_{cr} (M = konst.)$$

$C_1 \geq 1.0$... koeficient oblike momentne linije

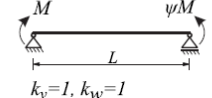

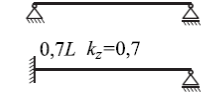
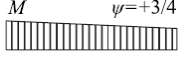
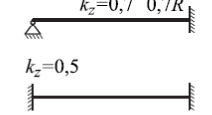
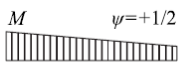
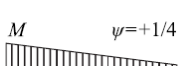
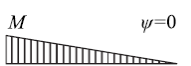
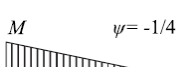
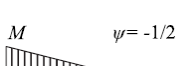
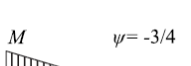

OBTEŽBA IN ROBNI POGOJI	POTEK MOMENTOV	C_1
	$\psi = 1$ 	1,00
	$\psi = 0.5$ 	1,31
	$\psi = 0$ 	1,77
	$\psi = -0.5$ 	2,33

OBTEŽBA IN ROBNI POGOJI	POTEK MOMENTOV	C_1
		1,13
		2,58
		1,35
		1,68

Pr. 3-1. Uklonski koeficienti

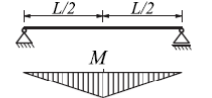
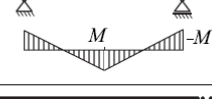
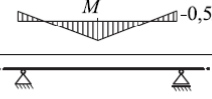
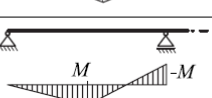
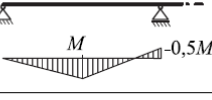
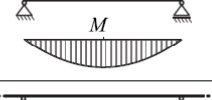
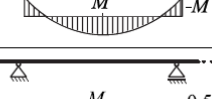
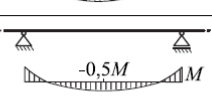
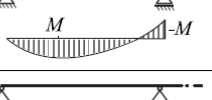
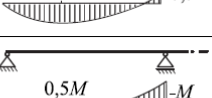

k_y – uklon okoli močne osi		k_z – uklon okoli šibke osi		k_ω – uklon okoli močne osi	
	$k_y = 1,0$		$k_z = 1,0$		$k_\omega = 1,0$
	$k_y = 0,7$		$k_z = 0,7$		$k_\omega = 0,7$
	$k_y = 0,5$		$k_z = 0,5$		$k_\omega = 0,5$

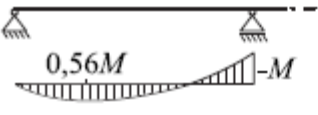
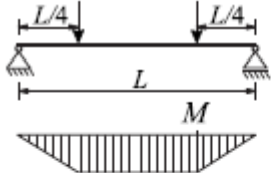
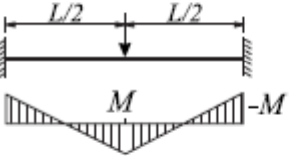
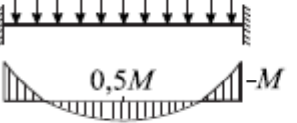
Pr. 3-2. Vrednosti koeficienta C_1 – nosilec obremenjen z robnimi momenti

obtežba in robni pogoji	potek momentov	k_z ¹⁾	C_1
 $k_y=1, k_w=1$	 $\psi=+1$	1,0	1,00
		0,7L	1,02
		0,7R	1,02
		0,5	1,00
$k_z=1$  $0,7L \quad k_z=0,7$	 $\psi=+3/4$	1,0	1,14
		0,7L	1,21
		0,5	1,14
 $k_z=0,7 \quad 0,7R$ $k_z=0,5$	 $\psi=+1/2$	1,0	1,31
		0,7L	1,48
		0,5	1,31
 $\psi=+1/4$	1,0	1,52	
	0,7L	1,85	
	0,7R	1,33	
	0,5	1,52	
 $\psi=0$	1,0	1,77	
	0,7L	2,33	
	0,7R	1,45	
	0,5	1,75	
 $\psi=-1/4$	1,0	2,05	
	0,7L	2,83	
	0,7R	1,58	
	0,5	2,00	
 $\psi=-1/2$	1,0	2,33	
	0,7L	3,08	
	0,7R	1,71	
	0,5	2,23	
 $\psi=-3/4$	1,0	2,55	
	0,7L	2,59	
	0,7R	1,83	
	0,5	2,35	
 $\psi=-1$	1,0	2,56	
	0,7L	1,92	
	0,7R	1,92	
	0,5	2,22	

¹⁾ 0,7L = levi rob vpet, 0,7R = desni rob vpet

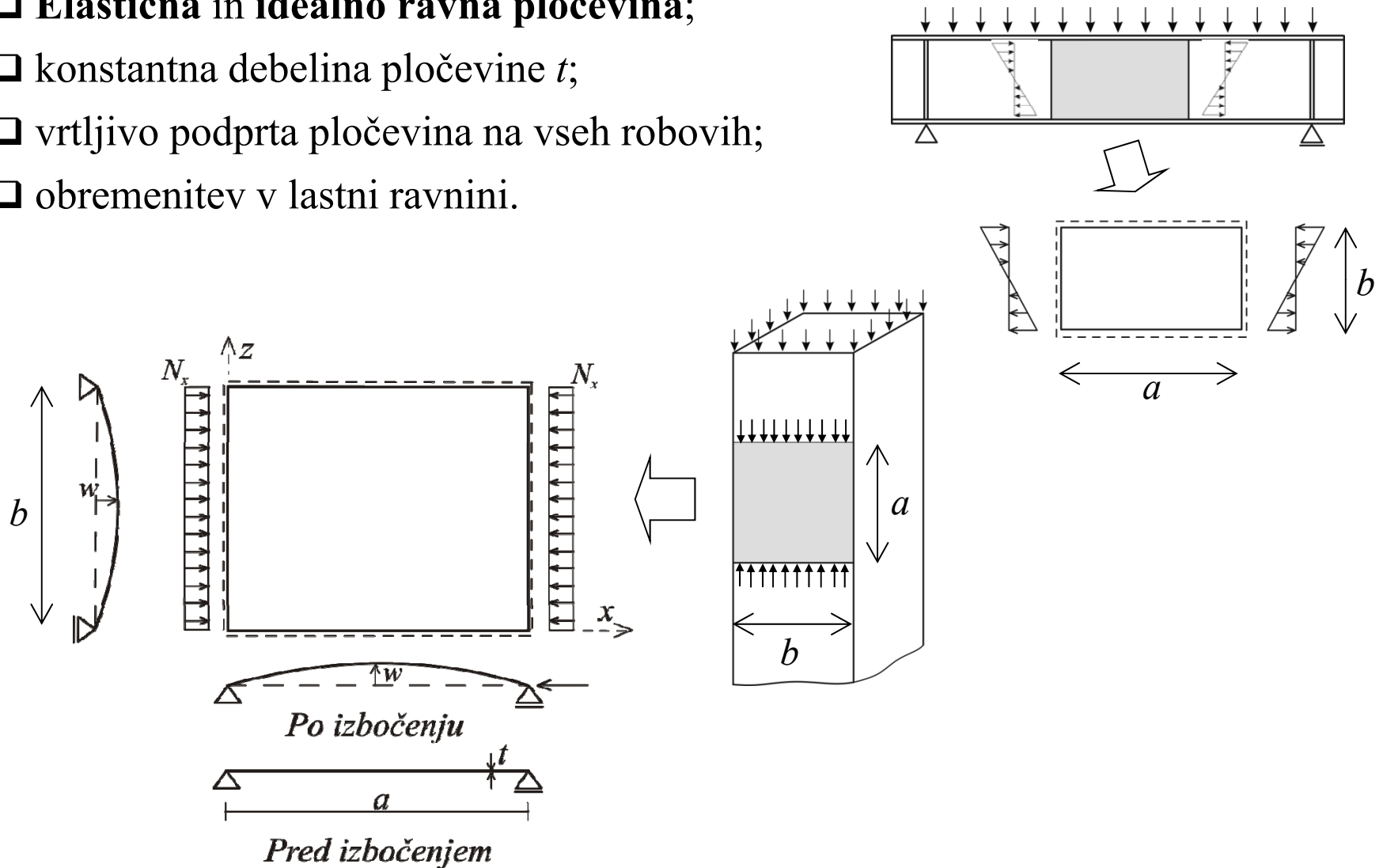
Pr. 3-3. Vrednosti koeficientov C_1 in C_2 - prečno obremen nosilec

potek momentov in robni pogoji	k_y	k_z	C_1	C_2
	1	1	1,35	0,55
	1	0,5	1,03	0,45
	1	1	1,70	0,50
	1	1	1,60	0,50
	1	1	2,50	0,50
	1	1	1,52	0,50
	1	1	1,48	0,50
	1	1	1,13	0,46
	1	0,5	0,95	0,41
	1	1	1,39	0,50
	1	1	1,27	0,50
	1	1	2,50	0,50
	1	1	1,29	0,50
	1	1	1,23	0,50
	1	1	2,50	0,50

potek momentov in robni pogoji	k_y	k_z	C_1	C_2
	1	1	2,40	0,50
	1	1	1,04	0,43
	1	0,5	0,92	0,40
	0,5	1	1,68	1,39
	0,5	0,5	0,94	0,76
	0,5	1	2,58	1,56
	0,5	0,5	1,49	0,90

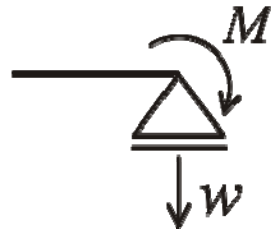
7.4 Lokalno izbočenje vitkih pločevin

- ❑ **Elastična in idealno ravna pločevina;**
- ❑ konstantna debelina pločevine t ;
- ❑ vrtljivo podprta pločevina na vseh robovih;
- ❑ obremenitev v lastni ravnini.



Ravnotežna enačba po teoriji drugega reda (linearna teorija izbočenja)

Robni pogoj:



$$w = 0$$

$$M = 0 \rightarrow w_{,xx} = 0$$

Ravnotežje v deformirani legi (TDR):

Analogija z nosilcem

$$w_{,xxxx} + 2w_{,xxyy} + w_{,yyyy} + \frac{N}{D} w_{,xx} = 0$$

$$w_{,xxxx} + \frac{N}{EI} w_{,xx} = 0$$

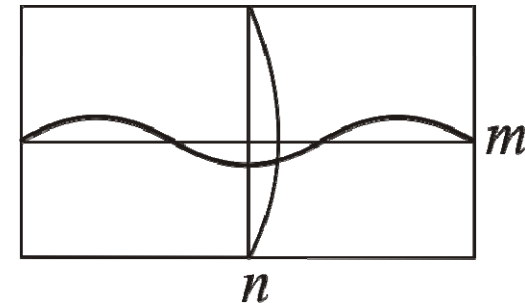
$$D = \frac{Et^3}{12(1-\nu^2)} \dots \text{upogibna togost na enoto širine plošče.}$$

Predpostavimo rešitev za w , ki avtomatično zadošča robnim pogojem:

$$w(x, y) = A \sin \frac{m \pi x}{a} \cdot \sin \frac{n \pi y}{b}$$

m ... število polvalov v vzdolžni smeri.

n ... število polvalov v prečni smeri.



$$\bar{m} = \frac{m \pi}{a} \quad \bar{n} = \frac{n \pi}{b}$$

$$w_{,xxxx} = \bar{m}^4 w$$

$$w_{,yyyy} = \bar{n}^4 w$$

$$w_{,xyxy} = \bar{m}^2 \bar{n}^2 w$$

$$w_{,xx} = -\bar{m}^2 w$$

$$w(\bar{m}^4 + 2\bar{m}^2 \bar{n}^2 + \bar{n}^4) = \bar{m}^2 w \frac{N}{D}$$

$$w\left(\bar{m}^4 + 2\bar{m}^2 \bar{n}^2 + \bar{n}^4 - \bar{m}^2 \frac{N}{D}\right) = 0$$

Netrivialna rešitev: $w \neq 0 \rightarrow (\bar{m}^2 + \bar{n}^2)^2 - \bar{m}^2 \frac{N}{D} = 0$

$$N_{cr} = \frac{(\bar{m}^2 + \bar{n}^2)}{\bar{m}^2} D \quad ; \alpha = \frac{a}{b}$$

$$N_{cr} = D \frac{\pi^2}{b^2} \left(\frac{m}{\alpha} + n^2 \frac{\alpha}{m} \right)^2$$

$$\sigma_{cr} = \frac{N_{cr}}{t} = \underbrace{\left(\frac{m}{\alpha} + n^2 \frac{\alpha}{m} \right)^2}_{k_\sigma} \underbrace{\frac{\pi^2 E t^2}{12(1-\nu^2) b^2}}_{\sigma_E}$$

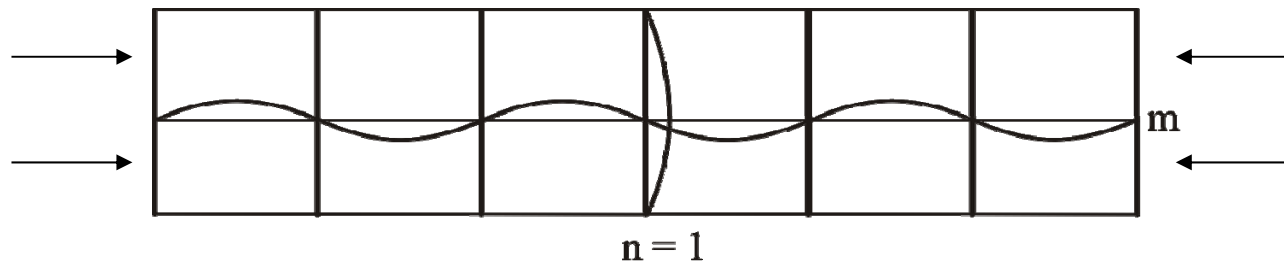
$$k_\sigma = \left(\frac{m}{\alpha} + n^2 \frac{\alpha}{m} \right)^2$$

Koeficient lokalnega izbočenja

$$\sigma_E = \frac{\pi^2 E t^2}{12(1-\nu^2) b^2}$$

$$k_{\sigma,MIN}(n) = ? \rightarrow n=1 \rightarrow k_{\sigma,MIN}(n=1) = \left(\frac{m}{\alpha} + \frac{\alpha}{m} \right)^2$$

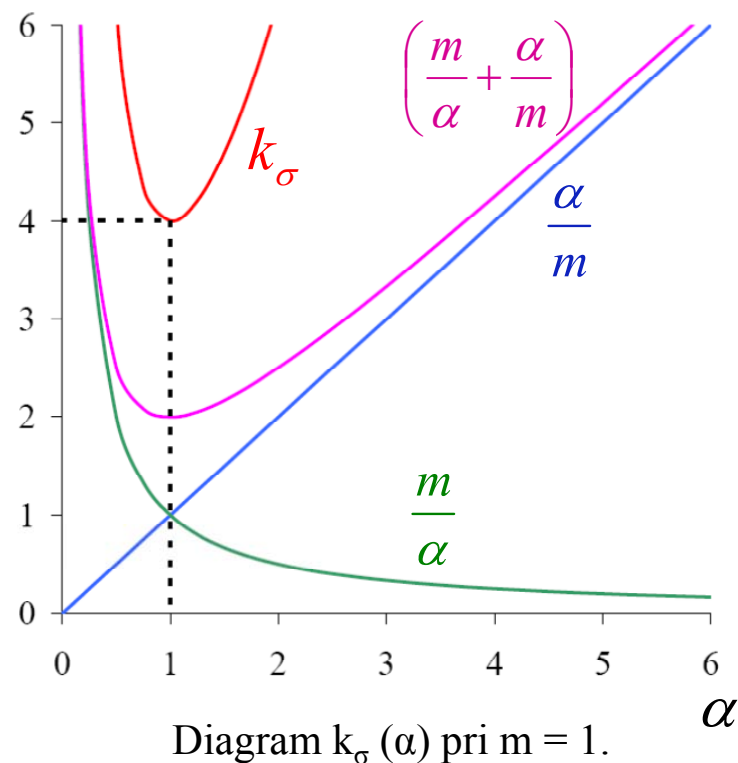
V primeru, da prečne obremenitve ni, nastane v prečni smeri le en polval:



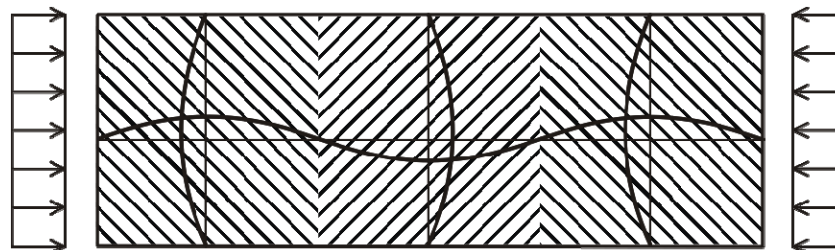
$$\frac{dk_{\sigma}}{dm} = 2 \underbrace{\left(\frac{m}{\alpha} + \frac{\alpha}{m} \right)}_{\neq 0} \underbrace{\left(\frac{1}{\alpha} - \frac{\alpha}{m^2} \right)}_{=0} = 0$$

$$\left(\frac{1}{\alpha} - \frac{\alpha}{m^2} \right) = 0 \rightarrow \boxed{m = \alpha}$$

$$k_{\sigma, MIN} (n = 1, m = \alpha) = \left(\frac{1}{1} + \frac{1}{1} \right)^2 = 4$$



Tvorijo se približno kvadratni paneli:



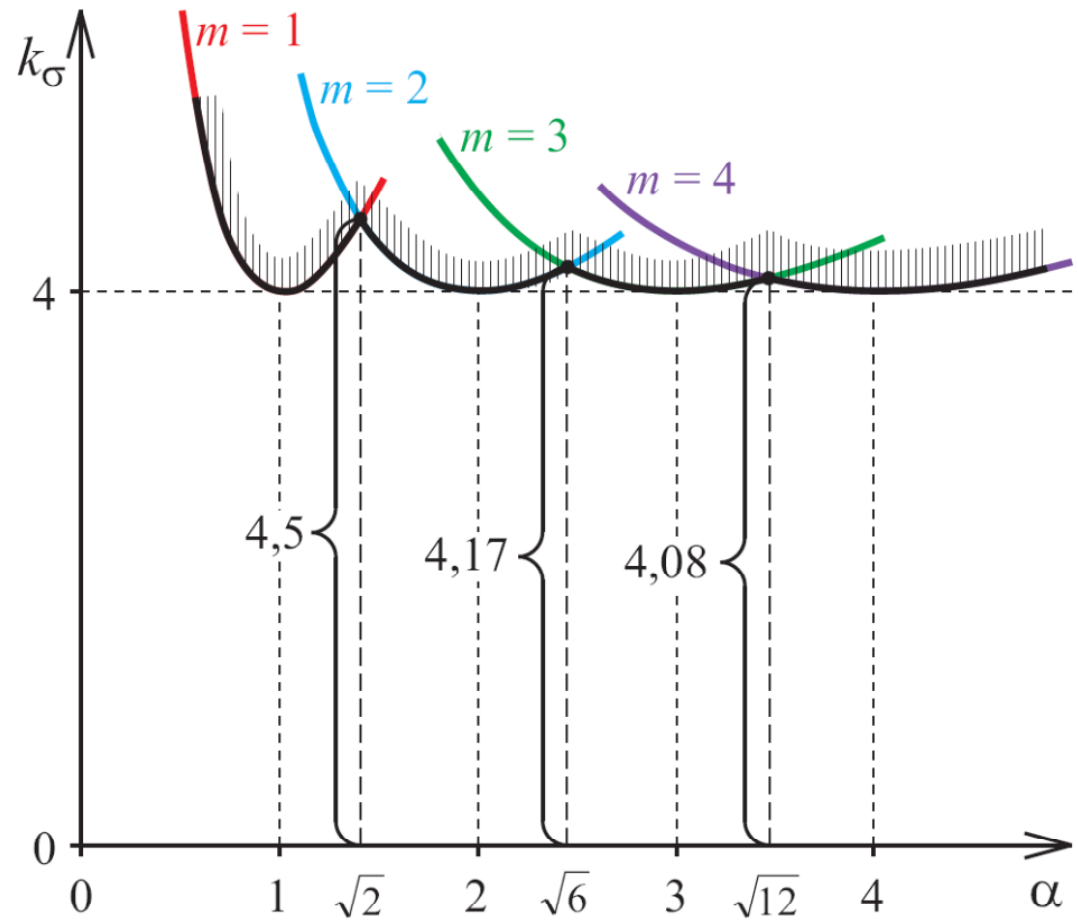
$$k_{\sigma}(m) = k_{\sigma}(m+1)$$

$$\frac{m}{\alpha} + \frac{\alpha}{m} = \frac{m+1}{\alpha} + \frac{\alpha}{m+1}$$

$$-\frac{1}{\alpha} = \frac{\alpha(m-m-1)}{m(m+1)}$$

$$\alpha^2 = m(m+1)$$

$$\rightarrow \alpha_{mej} = \sqrt{m(m+1)}$$



$$m=1, \alpha_{mej} = \sqrt{2} \rightarrow k_{\sigma} = \left(\frac{1}{\sqrt{2}} + \frac{\sqrt{2}}{1} \right)^2 = 4,5$$

$$m=2, \alpha_{mej} = \sqrt{6} \rightarrow k_{\sigma} = \left(\frac{2}{\sqrt{6}} + \frac{\sqrt{6}}{2} \right)^2 = 4,17$$

$$m=3, \alpha_{mej} = \sqrt{12} \rightarrow k_{\sigma} = \left(\frac{3}{\sqrt{12}} + \frac{\sqrt{12}}{3} \right)^2 = 4,08$$

K_σ pri različne obremenitvah pločevin:

□ Normalne napetosti:



$$k_\sigma = 4$$



$$k_\sigma = 23,9$$

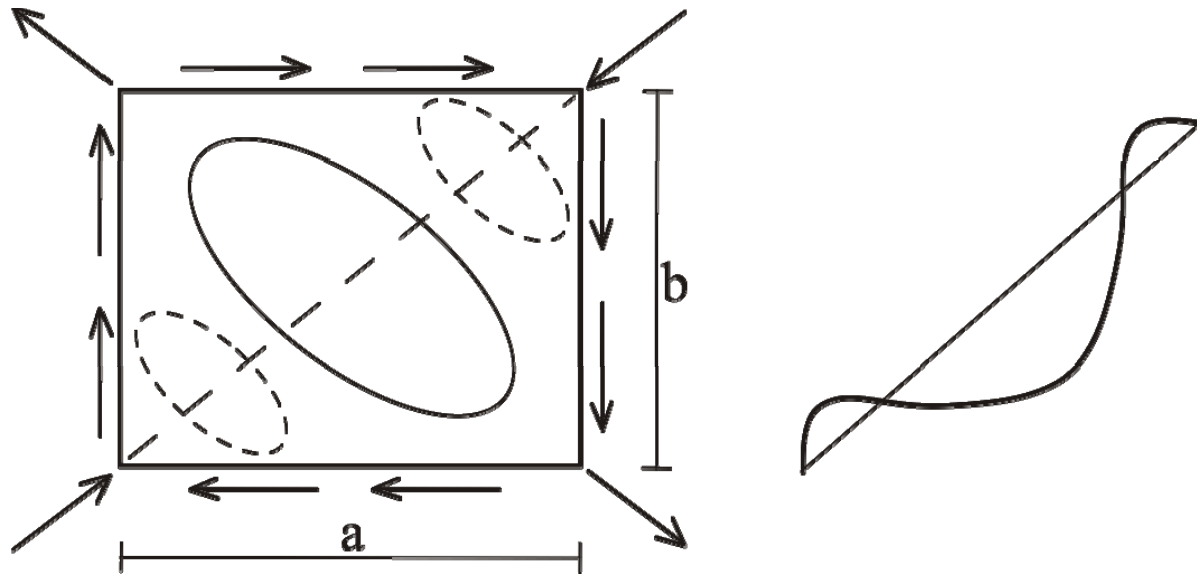


$$k_\sigma = 7,64$$



$$k_\sigma = 0,45$$

□ Strig:

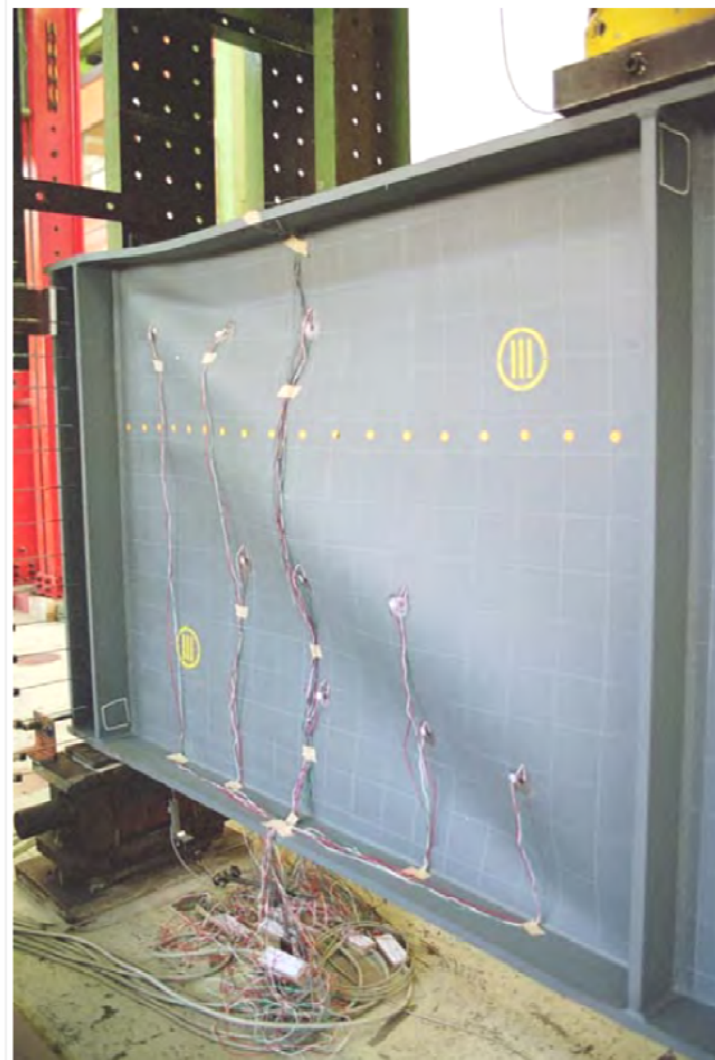


$$\sigma_{cr} = \sigma_E k_\sigma, \quad \tau_{cr} = \sigma_E k_\tau$$

$$k_\tau = 5,34 + \frac{4}{\alpha^2} \quad ; \alpha > 1,0 \quad \alpha = \frac{a}{b}$$

$$k_\tau = 4 + \frac{5,34}{\alpha^2} \quad ; \alpha < 1,0$$

- Izbočenje strižno obremenjenega panela polnostenskega nosilca (levo: s togo vzdolžno ojačitvijo, desno: s podajno vzdolžno ojačitvijo v zgornji tretjini)



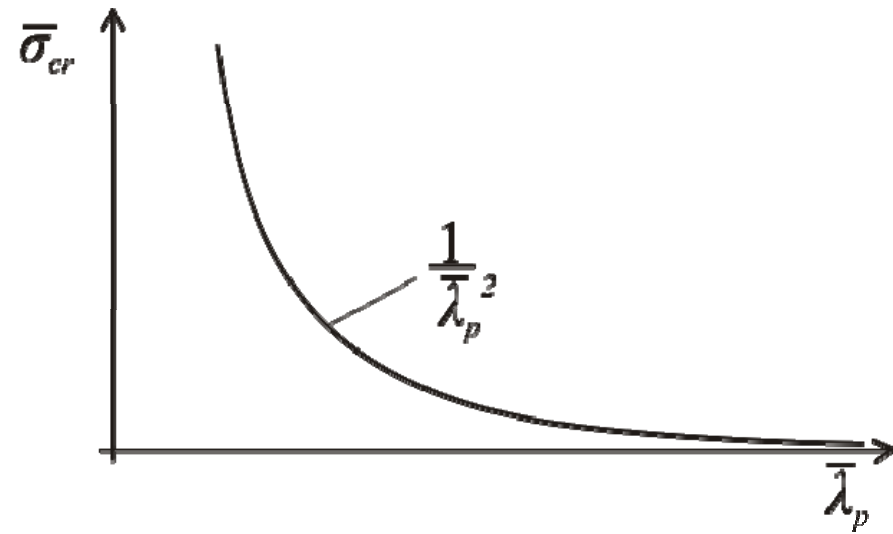
Vitkost:

Normalne napetosti:

$$\bar{\lambda}_p = \sqrt{\frac{f_y}{\sigma_{cr}}} \quad \frac{\sigma_{cr}}{f_y} = \bar{\sigma}_{cr} = \frac{1}{\bar{\lambda}_p^2}$$

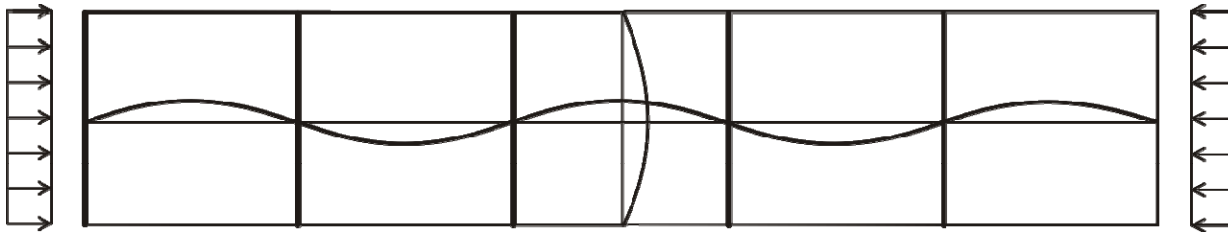
Strig:

$$\bar{\lambda}_{p\tau} = \sqrt{\frac{f_y / \sqrt{3}}{\tau_{cr}}}$$

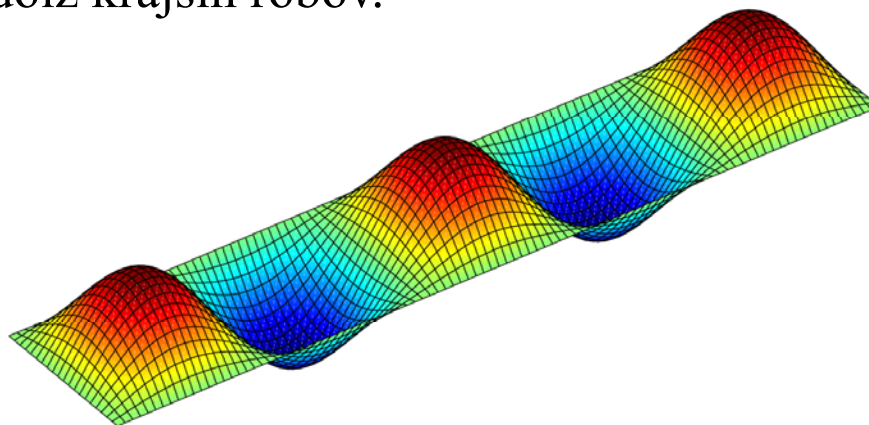


Toge ojačitve

- Prečne ojačitve vplivajo na **povečanje** k_τ in τ_{cr} , k_σ in σ_{cr} pa se bistveno ne povečata.



Pločevina brez ojačitev obremenjena s konstantnim potekom tlačnih napetosti vzdolž krajših robov.



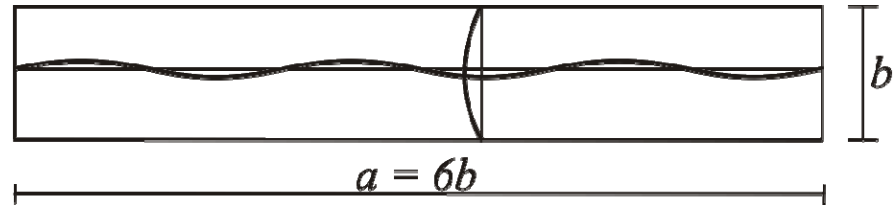
- Pločvina brez ojačitev:

$$\alpha = \frac{a}{b} = 6$$

$$m = \alpha = 6$$

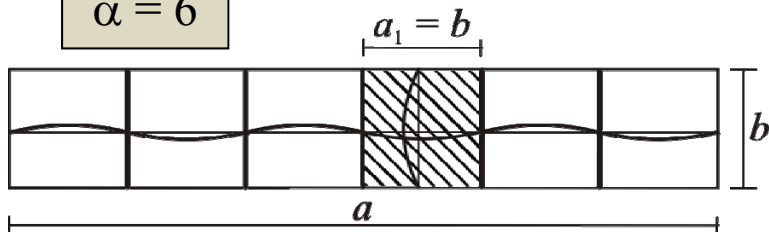
$$n = 1$$

$$k_{\sigma} = \left(\frac{m}{\alpha} + \frac{\alpha}{m} \right)^2 = \left(\frac{6}{6} + \frac{6}{6} \right)^2 = 4$$



- Pločvina s togimi prečnimi ojačitvami:

$$\alpha = 6$$

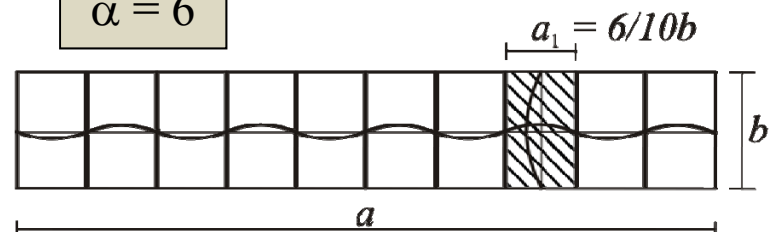


5 ojačitev, 6 polj $\rightarrow m = 6$

$$n = 1$$

$$k_{\sigma} = \left(\frac{m}{\alpha} + \frac{\alpha}{m} \right)^2 = \left(\frac{6}{6} + \frac{6}{6} \right)^2 = 4$$

$$\alpha = 6$$



9 ojačitev, 10 polj $\rightarrow m = 10$

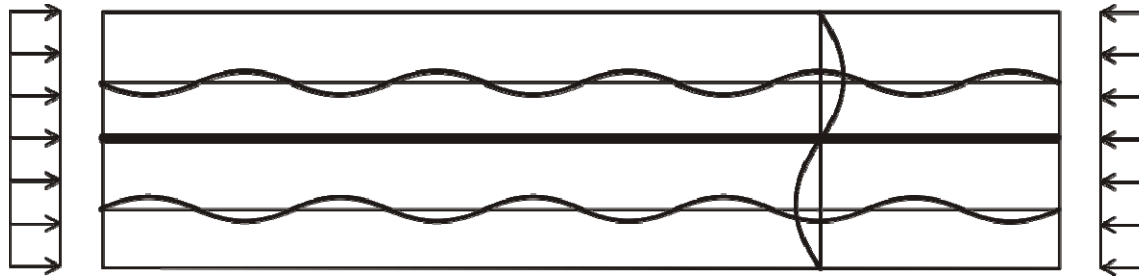
$$\alpha_1 = \frac{a_1}{b} = \frac{6}{10}$$

$$n = 1$$

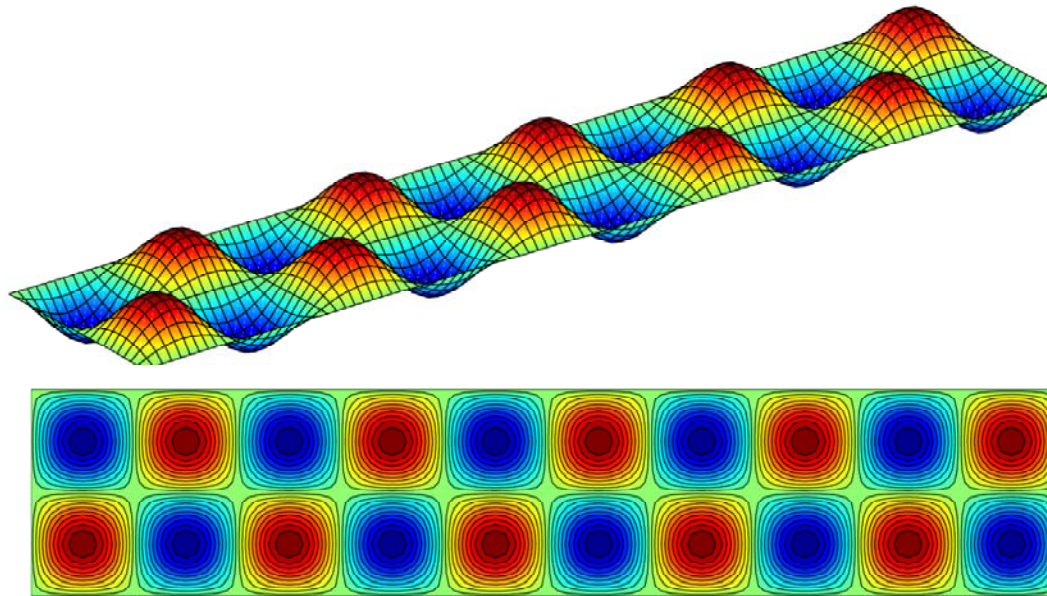
$$k_{\sigma} = \left(\frac{m}{\alpha} + \frac{\alpha}{m} \right)^2 = \left(\frac{10}{6} + \frac{6}{10} \right)^2 = 5,14$$

k_{σ} se bistveno ne poveča!

- k_σ in σ_{cr} povečamo z vzdolžnimi ojačitvami, saj pločevino prisilimo, da se prečno izboči v več kot enem polvalu.



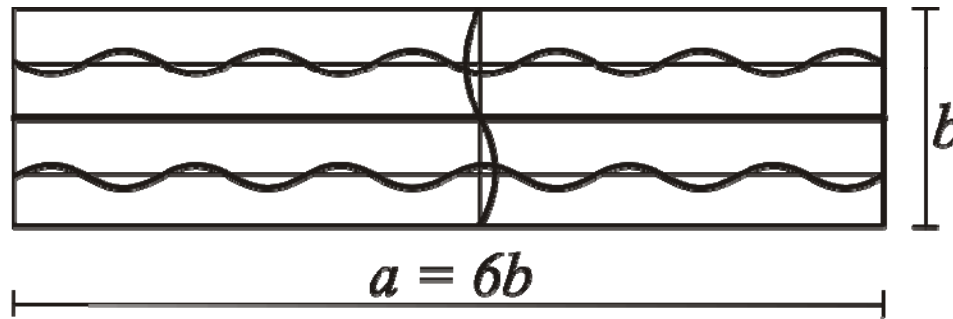
Pločevina s togo vzdolžno ojačitvijo obremenjena s konstantnim potekom tlačnih napetosti vzdolž krajših robov.



- Pločevina s togo vzdolžno ojačitvijo

$$n = 2$$

$$\alpha = \frac{a}{b} = 6 \quad \alpha_1 = \frac{a}{b/2} = \frac{6b \cdot 2}{b} = 12 \quad \Rightarrow \quad m = 12$$



$$k_{\sigma} = \left(\frac{m}{\alpha} + n^2 \frac{\alpha}{m} \right)^2 = \left(\frac{12}{6} + 2^2 \cdot \frac{6}{12} \right)^2 = 16$$

k_{σ} se bistveno poveča ($\times 4$)!

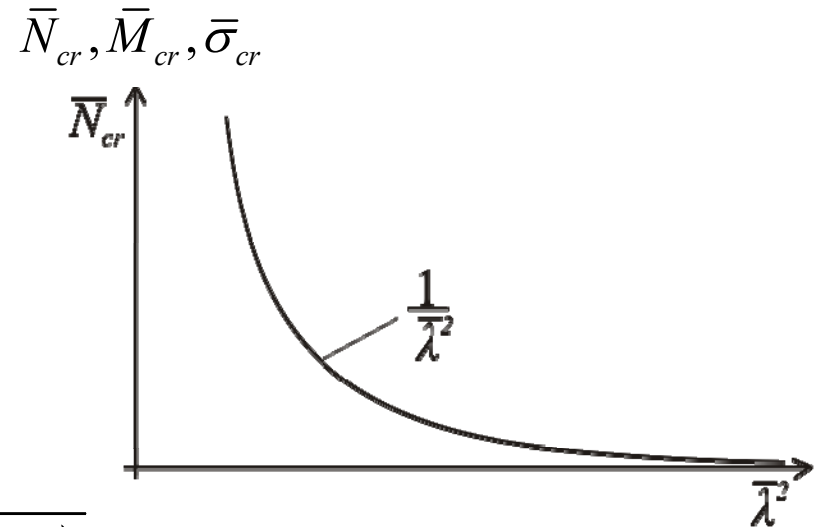
Kratek povzetek

Upogibni uklon:

Tlačna osna sila: N_{cr} , $\bar{\lambda} = \sqrt{\frac{N_{pl}}{N_{cr}}}$

Bočna zvrnitev:

Upogibni moment: M_{cr} , $\bar{\lambda}_{LT} = \sqrt{\frac{M_{el}(M_{pl})}{M_{cr}}}$



Lokalno izbočenje pločevin:

Tlačna napetost v ravnini pločevine: σ_{cr} , $\bar{\lambda}_p = \sqrt{\frac{f_y}{\sigma_{cr}}}$